

HP『海軍砲術学校』公開史料

射擊指揮裝置 1 型

(射擊理論)

第 1 術科學校砲術科

目 次

記号一覧表

1 弹道計算コンデンサ	7
2 座標系	22
3 速度計算	28
4 照準位置の決定	47
5 見越角の計出	52
6 動搖修正理論	60
7 集中角修正	87
8 信管秒時計出	92
9 目標自動表示盤の位置座標	94

記号一覧

1.1 速度計算

D M hx	相対速度東西成分
D M hy	" 南北成分
D M v	" 上下成分
r (D M hx)	相対速度修正東西成分
r (D M hy)	" 南北成分
r (D M v)	" 上下成分
D ² M hx	相対加速度東西成分
D ² M hy	" 南北成分
D ² M v	" 上下成分
D M hx ₂	平均相対速度東西成分
D M hy ₂	" 南北成分
D M v ₂	" 上下成分
R	距離
E	高角
By	真方位角
D M r	変距
D E	上下変角率
e (R)	距離誤差
e (E)	高角誤差
e (By)	方位角誤差
D M	相対的速度

C	相對運動的針
Et	昇降角
Co	自針
DMhc	自速
Bct	的角
B	相對方位

1:2 彈道計算

Mhx4	東西方向變位總和
Mhy4	南北方向 "
Mv4	鉛直 "
Mrh4	水平面內射線方向變位總和
Mb4	" 左右方向變位總和
U(Mrh)	初速偏差水平面內射線方向成分
X(Mrh)	空氣密度偏差水平面內射線方向成分
Y(Mrh)	氣溫偏差水平面內射線方向成分
W(Mrh)	彈道風水平面內射線方向成分
t(Mb)	走偏水平面內射線方向成分
W(Mb)	彈道風水子面內射線左右方向成分
b(Mv)	迴轉角成分
U(Mv)	初速偏差上下成分
X(Mv)	空氣密度偏差上下成分
Y(Mv)	氣溫偏差上下成分
Z(Mhx)	地上射擊調整東西成分
Z(Mhy)	" 南北成分

$Z (Mv)$	空上射擊調定上下校分
T_s	飛行時
R_z	指向距離
$\frac{T_s}{R_z}$	彈道變數
$R h_4$	指向水平距離
$R v_4$	指向高度
W_h	水平真風速
$B wy$	真風真風向
W_{hx}	水平真風速東西成分
W_{hy}	" 南北成分
W_{hx_0}	自速風東西成分
W_{hy_0}	" 南北成分
W_{hx_a}	視風速東西成分
W_{hy_a}	" 南北成分
W_{ra}	視風速水平面內射線方向成分
W_{ba}	" 左右方向成分

1.3 見越角計算

v	照尺角(上下苗頭)
L_h	水平面苗頭
R_h	水平距離
R_v	高 度
$q (R h_4)$	彈着距離修正

1.4 動搖修正計算

Z ₀	ロール
E ₁₀	ピッチ
E _g	射線高角
B _g	射線相対方位
j (E _g)	射線高角動搖修正量
j (B _g)	射線相対方位動搖修正量
M _{1gy}	動搖による射線移動水平面内首尾線方向成分
M _{1gxz}	" 左右舷方向成分
M _{1gz}	" 鉛直成分

1.5 T D T 信号動搖修正計算

E _{d'}	方位盤仰角
B _{d'}	方位盤旋回角
ℓ' (x 成分)	
m' (y 成分)	動搖している方向余弦
n' (z 成分)	
ℓ (x 成分)	
m (y 成分)	動搖修正された方向余弦
n (z 成分)	

1.6 基準発砲角計算

E _{dg'}	砲仰角
B _{dg'}	砲旋回角
q (v)	測尺角修正
q (L _h)	水平面首頭修正

1.7 硏占位差修正角計算

Pvd' 1 +	垂直占位差(1番砏)
Pvd' 2 +	" (2番砏)
Pd 1 +	甲板面内占位差(1番砏)
Pd 2 +	" (2番砏)
P(Edg') 1 +	占位差仰角修正量(1番砏)
P(Edg') 2 +	" (2番砏)
P(Bdg') 1 +	占位差旋回角修正量(1番砏)
P(Bdg') 2 +	" (2番砏)

1.8 発砏諸元計算

(Edg') p1 +	集中角俯仰角修正(1番砏)
(Edg') p2 +	" (2番砏)
(Bdg') p1 +	集中角旋回角修正(1番砏)
(Bdg') p2 +	" (2番砏)
j(Edg')i	星彈仰角調定量
j(Bdg')i	星彈旋回角調定量

1.9 信管秒時計算

T _s	指令信管秒時
T _g	基てん費消時
q(T _s)	指令信管秒時修正量

1.10 目標自動表示盤用信号計算

R _{hx}	現在距離東西成分
R _{hy}	現在距離南北成分
R _{hx_s}	未来距離東西成分

R hy₂

未来距離南北成分

R h₂

" 水平成分

R v₂

未来高度

射撃指揮装置 1型

射撃理論

1 弹道計算 コンデンサ (Ballistics Computing Condenser)

(1) 概 説

目標に弾丸を命中させるには、目標の現在位置を連続に測的することによつて、目標の運動方向、運動量を計出し、弾丸の飛行秒時中の移動量を求め、現在位置へ加算することによつて未来位置を決定する。この位置へ、タイムリイに弾丸を到達させるには、時間と3次元の空間に関する連立方程を解法し、砲を指向すべき照準位置を決定しなければならない。

この射撃問題を解法するには、地球上において避けることのできない重力・大気の影響などの複雑な値を考えねばならない。このため、砲種及び弾種について基準状態における弾道に関する諸データが射表として編算され、基準弾道に射撃時の条件の変化については、補正を加え射撃問題の解法を行なつてゐる。

射撃指揮装置は、一般にある機構によつて未来位置をファクターとして射表を精密に記憶させる装置を内臓し、測的で得られた未来位置から記憶装置の諸データを逆にとりだす方式が行なわれてゐる。

ここで注意すべきことは、照準位置計算部と弾道計算部とは常に出入力関係にあり、サーボ・ループを形成していることである。

即ち、弾道に関する全てのデータは、大気状態を基準とすれば射距離、仰角、及び初速度の関数である。従つて、計画初速に従つて砲仰角と射距離に応じて弾道諸データを記録させ、測定した未来位置の距

離、仰角に基づきこの記録データを取り土し、射撃時の条件からして
よつてデータを補正し、射撃理論をアノログサーが連立方程式で解法
する。

本射撃指揮装置は、一種の可変コンテンサである弾道コンテンサが
採用され、装備砲について次の値を記憶させている。

指向距離(仮想未来距離)	R _e
砲軸角(重力降下量)	S E b(Mv)
初速	U(Mrh) U(Mv)
空気密度偏差	X(Mrh) X(Mv)
定偏	o(Mb)
温度偏差	T(Mrh) T(Mv)

[注] 3"R/Fのみ 5"R/Fについては無
修正

以上の弾道関数は、射距離のかわりに飛行秒時 T_0 及び Eg の変化に
ついての偏差量で与えられ、数学的に考えれば弾道関数は、 T_0 と Eg
の2価関数とへうことができ次式で示される。

$$\varphi = \varphi(T_0, Eg)$$

即ち、射撃室内の記録機器である弾道コンテンサは、 T_0 ・ Eg の変
化量で偏差量をコンテンサ容量として発生する形状に加工し、測的
によつて求めて未来位置 x_0 及び y_0 から偏差量を逆に取り出すことと
なる。

しかし、同時に $\varphi(T_0, Eg)$ を算出することは技術的に困難である
ため、求める偏差量を Eg のみを関数とする φ 及び T_0 のみを関数とする
とし、两者を組み合せて偏差量を計算する1価関数に展開する必要がある

$$\text{即ち、 } F = f(T_s \cdot Eg) \neq f_1(T_s) + f_2(T_s)g_1(Eg) + f_3(T_s)g_2(Eg) \\ + \dots + f_n(T_s)g_{n-1}(Eg)$$

としている。展開された $f \cdot g$ の量が多ければ、多いほど精度があるが、コンデンサの数が増加し不経済であるので、処理の精度内に入る値で展開される。

本装置では、射程が大となれば T_s の値が大となりコンデンサ作製が粗雑となるので本装置の計算は、データを R_4 で割り三角形斜辺を常に 1 とする比例算で計算することによって、精度をあげている。そのため $\frac{1}{R_4}$ で処理されている。従つて、 T_s は $\frac{T_s}{R_4}$ とし無次元化の方式をとっている。よつて、上記の式は

$$F = f\left(\frac{T_s}{R_4} \cdot Eg\right) \neq f_1\left(\frac{T_s}{R_4}\right) + f_2\left(\frac{T_s}{R_4}\right)g_1(Eg) + f_3\left(\frac{T_s}{R_4}\right)g_2(Eg) \\ + \dots + f_n\left(\frac{T_s}{R_4}\right)g_{n-1}(Eg)$$

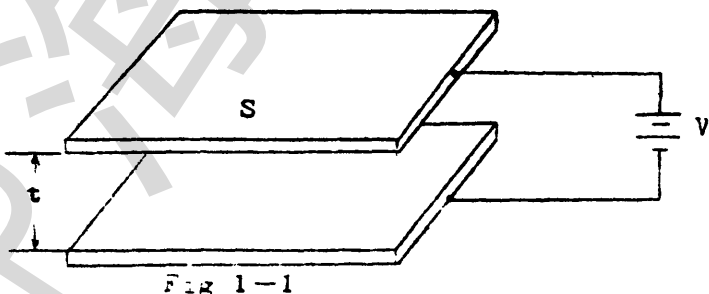
で表わされる。使用射表は

OP1766 「AA RANGE TABLE FOR 3-INCH 50 CALIBER GUN」

OP1184 「AA RANGE TABLE FOR 5-INCH 54 CALIBER GUN」

である。

(2) 弹道コンデンサの製作



2枚の平面コンデンサ容量は

電界の強さ : E Volt/m

面 積 : S m²

二面の距離 : t m

加えた電圧 : V Volt

電荷密度 : ρ クローン/m²

全電荷 : Q

誘電率 : ϵ_0

空気の比誘電率 : ϵ_s とすれば

クローンの法則から

$$E = \frac{1}{\epsilon_0 \epsilon_s} \rho$$

$$ES = \frac{\rho}{\epsilon_0 \epsilon_s} S = \frac{Q}{\epsilon_0 \epsilon_s} \quad \therefore E = \frac{Q}{\epsilon_0 \epsilon_s S}$$

$$V = \int_0^t E dt = \int_0^t \frac{Q}{\epsilon_0 \epsilon_s S} dt = \frac{Qt}{\epsilon_0 \epsilon_s S}$$

$$C = \frac{Q}{V} = \frac{\epsilon_0 \epsilon_s S}{t}$$

即ち、容量は、面積に比例する。従つて Fig 1 - 2 のようにロータの形状を偏差量に応じた面積になるように作成し、サーボの Eg 軸、 $\frac{T_2}{R_4}$ 軸で変化すれば所要の容量を得ることができる。

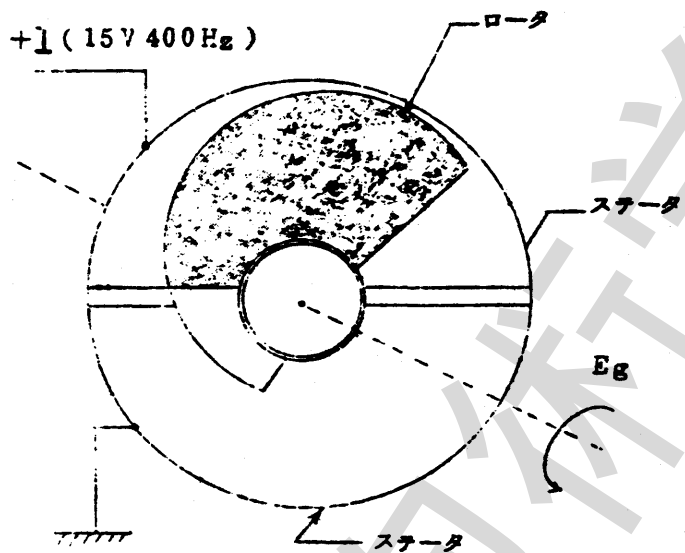


Fig 1-2

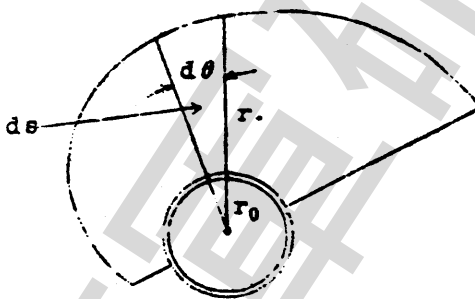


Fig 1-3

今、作成したい関数を $F(x)$ とし、(+)電位に接触する面積 $S(\theta)$ とし、
K を変換係数とすれば

$$F(x) = K S(\theta)$$

となる。

r_0 : 回転軸の半径

r : 求めるローターの半径

とすれば、F¹・3において微小面積をdSとなす微小角dθとすれば扇形の面積から次のようになる。

$$dS = \frac{1}{2} (r^2 - r_0^2) d\theta \quad \dots \quad ①$$

$$dF = \frac{K}{2} (r^2 - r_0^2) dX \quad \dots \quad ②$$

$$\frac{dF}{dX} = \frac{K}{2} (r^2 - r_0^2) \quad \dots \quad ③$$

$$\left(\frac{dF}{dX}\right)_{max} = \frac{K}{2} (r_{max}^2 - r_0^2) \quad (\text{注}) \ max \text{は最大値を示す}$$

$$\frac{K}{2} = \frac{\left(\frac{dF}{dX}\right)_{max}}{r_{max}^2 - r_0^2} \quad \dots \quad ④$$

③式から

$$r^2 = \frac{2}{K} \left(\frac{dF}{dX}\right) + r_0^2 = \frac{r_{max}^2 - r_0^2}{\left(\frac{dF}{dX}\right)_{max}} \cdot \left(\frac{dF}{dX}\right) + r_0^2$$

$$\therefore r = \sqrt{\frac{r_{max}^2 - r_0^2}{\left(\frac{dF}{dX}\right)_{max}} \left(\frac{dF}{dX}\right) + r_0^2}$$

$r_0 = 14.5 \text{ mm}$ $r_{max} = 39.5 \text{ mm}$ とし、 $\frac{dF}{dX}$ は、射表を分析し電子計算機 IBM 7090 で計出し、回転角に応じた半径を定めロータ形状を求め、常に ± 1 に接した面積が求める彈道のデータ値を示すように精密作製がなされる。

(3) 各種弾道コンデンサ

ア R_4

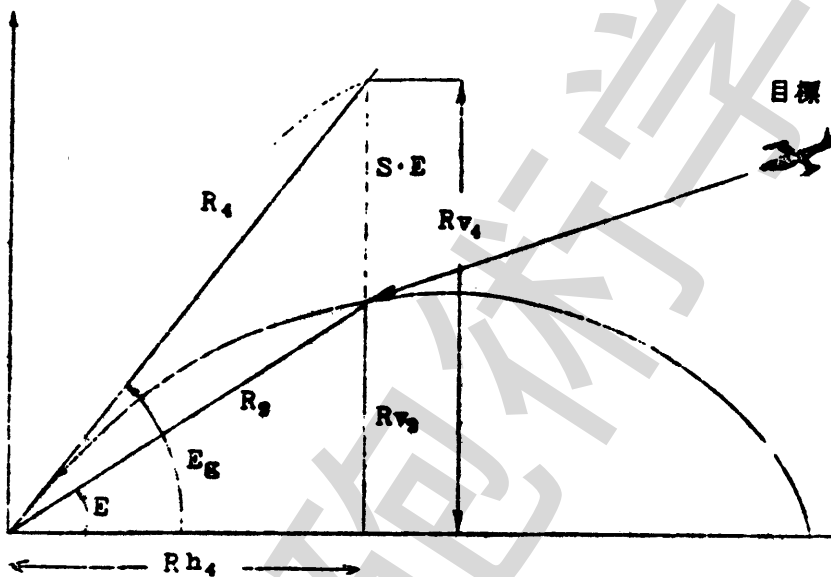


Fig 1-4

射表には、 R_4 及び SE の値はのつていないので、次の計算式で求めている。

$$R_4 = Rh_4 / \alpha E_g$$

$$S \cdot E = Rh_4 \text{ 加 } E_g - R_{v_4}$$

弾道コンデンサは、次の記号で表示する。

5F 5"/54 弹道で $\frac{T_0}{R_4}$ の関数

5G 5"/54 弹道で E_g の関数

3F 3"/50 弹道で $\frac{T_0}{R_4}$ の関数

3G 3"/50 弹道で E_g の関数

$$R_4 = 5F1 + 5F2 \times (5G1 - 0.065) - 5F3 \times (5G2 - 1.015 - 5G3)$$

$$R_4 = 3F1 + 3F2 \times (3G1 - 0.071) + 3F3 \times (3G2 - 0.02)$$

イ 重力降下量 S・E

$$\frac{SE}{R_4} = 5F4 + 5F6 \times (5G4 - 0.07) + 5F6 \times (5G5 - 0.01)$$

$$\frac{SE}{R_4} = 3F4 + 3F5 \times (3G3 - 0.057) + 3F6 \times (3G4 - 2.00)$$

ウ 初速度偏差 (IV 100ft/secの増減に関する偏差)

(7) 水平面内射線方向

初速度偏差 $U(Mrh)/Rh_4$ は、 Eg について射表をプロットした結果、 Eg が変化しても $U(Mrh)/Rh_4$ の変化量は、微小で精度上無視し T_4/R_4 についてのみ 1 値関数として展開している。

$U(Mrh)$ は、 Rh_4 について展開しているので $\frac{U(Mrh)}{Rh_4}$ を

$\frac{U(Mrh)}{R_4}$ に変換しなければならない。

$$\frac{U(Mrh)}{R_4} = \frac{Rh_4}{R_4} \times \frac{U(Mrh)}{Rh_4} = \frac{Rh_4}{R_4} \times (3.825 \times 10^{-2} - 5F7)$$

$$\frac{U(Mrh)}{R_4} = \frac{Rh_4}{R_4} \times \frac{U(Mrh)}{Rh_4} = \frac{Rh_4}{R_4} \times (37.78 \times 10^{-3} - 3F7)$$

(1) 鉛直面内の上下偏差

$U(Mv)/R_4$ を $\frac{T_2}{R_4}$ で展開すれば直線的に変化するので、

$Eg = 30^\circ$ についての $\frac{T_2}{R_4}$ で展開した数値に Eg の変化に対する比を

もつて補正し、次の式としている。

$$\frac{U(Mv)}{R_4} = (1.9571 \times 10^{-2} - 5F8) \times 5G5$$

$$\frac{U(Mv)}{R_4} = (18.5 \times 10^{-3} - 3F8) \times 3G5$$

ウ 空気密度偏差（空気密度10%増減に関する偏差）

(1) 水平面内の射線方向

$\frac{X(Mrh)}{R_4}$ は、初速度偏差と同様に Eg でプロットすれば直線的

変化となり、しかも Eg の変化量による値は、精度上無視できる
ので $\frac{T_2}{R_4}$ のみの展開としている。

5F9 は $\frac{1}{Rh_4}$ について展開された値であるため $\frac{1}{R_4}$ に換算する必
要がある。

$$\frac{X(Mrh)}{R_4} = \frac{Rh_4}{R_4} \times \frac{X(Mrh)}{Rh_4} = \frac{Rh_4}{R_4} \times 5F9$$

$$\frac{X(Mrh)}{R_4} = \frac{Rh_4}{R_4} \times \frac{X(Mrh)}{Rh_4} = \frac{Rh_4}{R_4} \times 3F9$$

(1) 鉛直面内の上下偏差

$\frac{X(Mv)}{R_4}$ は、 $Eg = 30^\circ$ を基準とし、5F10を展開し、 Eg の各砲

仰角の値の比で補正する。

$$\frac{X(Mv)}{R_4} = 5F10 \times (5G7 - 0.08)$$

$$\frac{X(Mv)}{R_4} = 3F10 \times (3G6 - 0.044)$$

エ 弹道風偏差(弾道風10ktの増減に関する偏差)

弾道風のコンテンサは、射線方向風成分(Rear Wind)及び射線と直角成分(Cross Wind)に対して、水平面の射線方向、左右成分とした10ktを基準の偏差量を計出する。

(ア) 縦風 (Rear Wind)

$\frac{W(Mrh)}{R_4}$ は、射表Egについてプロットすれば Egに関する変

化量はほとんどない。しかも $\frac{T_3}{R_4}$ については、直線的に変化している。従つて $\frac{T_3}{R_4}$ を変数として1価関数として展開している。

$$\frac{W(Mrh)}{R_4} = 5F11$$

$$\frac{W(Mrh)}{R_4} = 3F14$$

(イ) 横風 (Cross Wind)

$\frac{W(Mb)}{R_4}$ は、射表をEgについてプロットしても Egに関する変化量はほとんど変化しない。従つて $\frac{T_3}{R_4}$ の1価関数として展開する。

$$\frac{W(Mb)}{R_4} = 5F12$$

$$\frac{W(Mb)}{R_4} = 3F15$$

オ 定 偏 (Drift)

$\frac{b(Mb)}{R_4}$ は、射表を、 Eg について展開すれば $Eg = 25^\circ$ を中心に分布し、平均値 $Eg = 25^\circ$ の定偏をとつても、要求上の精度は満足される。従つて $Eg = 25^\circ$ における $\frac{T_1}{R_4}$ の展開値で作製されている。

$$\frac{b(Mb)}{R_4} = 5 F 13 \quad \frac{b(Mb)}{R_4} = 3 F 16$$

カ 気温偏差

気温が $100^\circ F$ 变化した場合の水平面内射線方向偏差及び上下偏差について展開されている。

(ア) 水平面内射線方向偏差

$\frac{Y(Mrh)}{R_4}$ のプロットは、複雑な曲線を示し、単調な曲線とならない。従つて、折線で近似化し、 $Eg = 50^\circ$ における曲線を折線近似し $3 F 11$ を設計し、これを俯角の諸値を $3G7$ によつて修正している。

$$\frac{Y(Mrh)}{R_4} = (3F11 - 2.3 \times 10^{-3})(1.605 - 3G7)$$

(イ) 上下偏差 $Y(Mv)/R_4$

$Eg = 30^\circ$ の $Y(Mv)/R_4$ と展開関数 $3 F 12$ と $Eg = 5^\circ$ の $Y(Mv)/R_4$ の展開関数 $3 F 12$ を基準として $3G8$ によつて展開関数 $3G8$ で倍数による修正をしたもので示している。

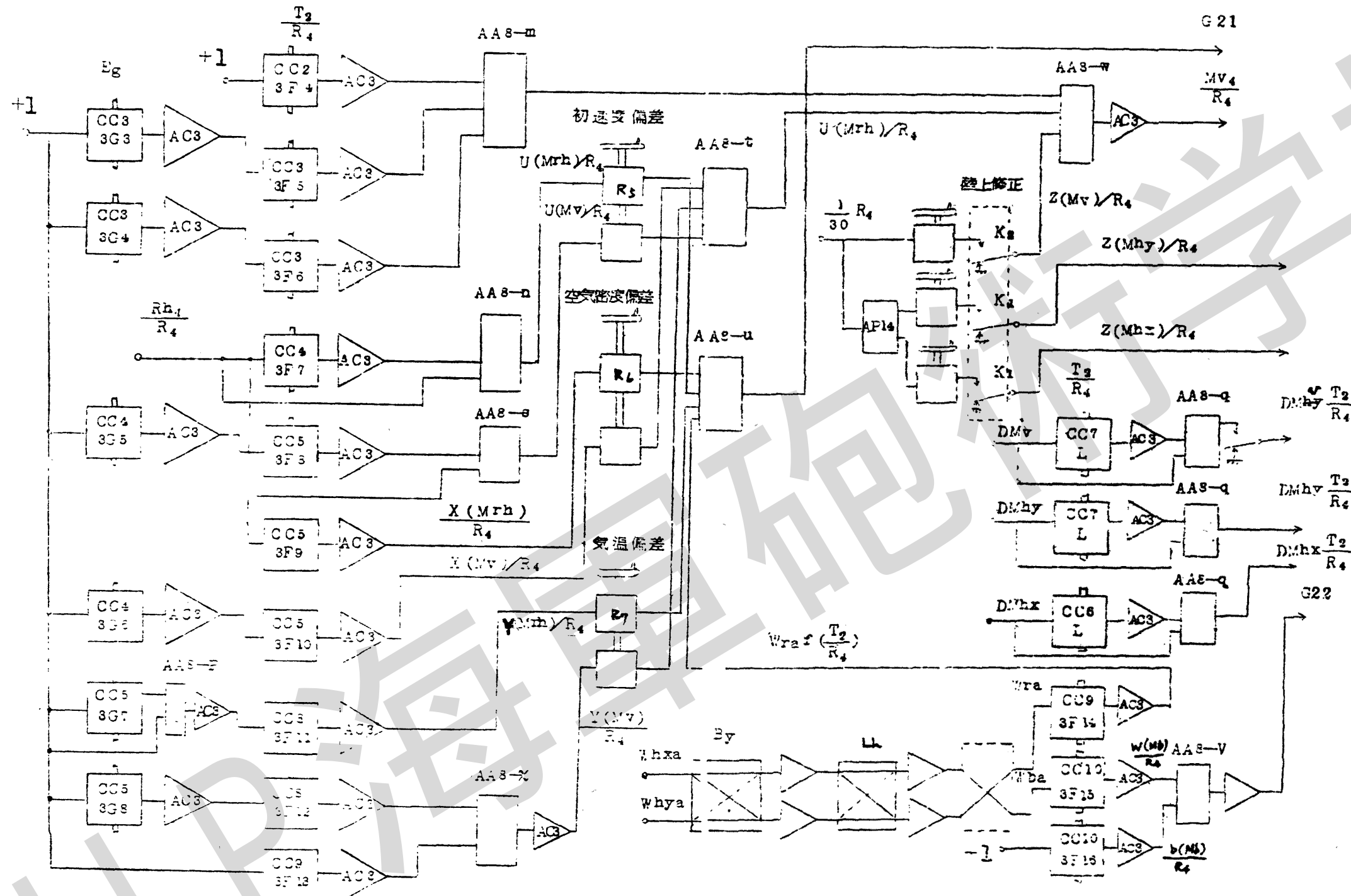
$$\frac{Y(Mv)}{R_4} = 3 F 12 (3G8 - 0.1992) - 3 F 13$$

5"/54 砲

主变数	関 数	種 類
T_4/R_4	5 F 1	R_4
"	5 F 2	R_4
"	5 F 3	R_4
"	5 F 4	SE/R_4
"	5 F 5	SE/R_4
"	5 F 6	SE/R_4
"	5 F 7	IV/R_{h4} (水平方向)
"	5 F 8	IV/R_4 (上下方向)
"	5 F 9	$A \cdot D/R_{h4}$ (水平方向)
"	5 F 10	$A \cdot D/R_4$ (上下方向)
"	5 F 11	$R \cdot W/R_4$ (Rear Wind)
"	5 F 12	$C \cdot W/R_4$ (Cross Wind)
"	5 F 13	$Drift/R_4$
EG	5 G 1	R_4
"	5 G 2	R_4
"	5 G 3	R_4
"	5 G 4	SE/R_4
"	5 G 5	SE/R_4
"	5 G 6	IV/R_4 (上下方向)
"	5 G 7	$A \cdot D/R_4$ (上下方向)

3"/50 硕

主变数	関 数	種 類
	T _z /R ₄	3F1 R ₄
"	3F2	R ₄
"	3F3	R ₄
"	3F4	SE/R ₄
"	3F5	SE/R ₄
"	3F6	SE/R ₄
"	3F7	IV/Rh ₄ (水平方向)
"	3F8	IV/R ₄ (上下方向)
"	3F9	A·D/Rh ₄ (空氣密度) (水平方向)
"	3F10	A·D/R ₄ (" (上下方向)
"	3F11	Temp/R ₄ (水平方向)
"	3F12	Temp/R ₄ (上下方向)
"	3F13	Temp/R ₄ (")
"	3F14	R·W/R ₄ (水平方向)
"	3F15	CW/R ₄ (左右方向)
"	3F16	DRIFT/R ₄
Eg	3G1	R ₄
"	3G2	R ₄
"	3G3	SE/R ₄
"	3G4	SE/R ₄
"	3G5	I·V/R ₄ (上下方向)/R ₄
"	3G6	A·D/R ₄ (")/R ₄
"	3G7	Temp/R ₄ (水平方向)/R ₄
"	3G8	Temp/R ₄ (上下方向)/R ₄



F : z 1 - 5 運算計出回路

2 座標系

本射撃指揮装置は、方位盤を原点とし、北をy軸、東をx軸、天頂をz軸とし、自選に固定された絶対座標による直角座標系で計算される。しかし、目標の測的段階においては、目標までの距離R、目標の方位By及び目標高角Eの座標系で測的され、速度計算、見越角計算は、x、y、zの変化量の直角度標系で計算される。

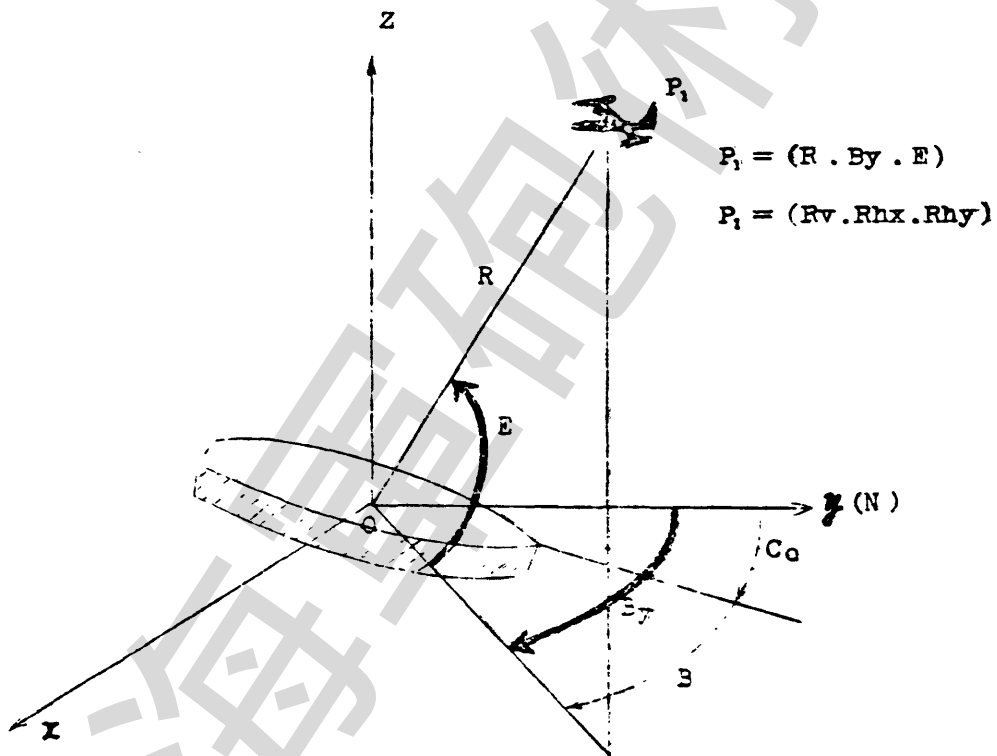


Fig 2 - 1

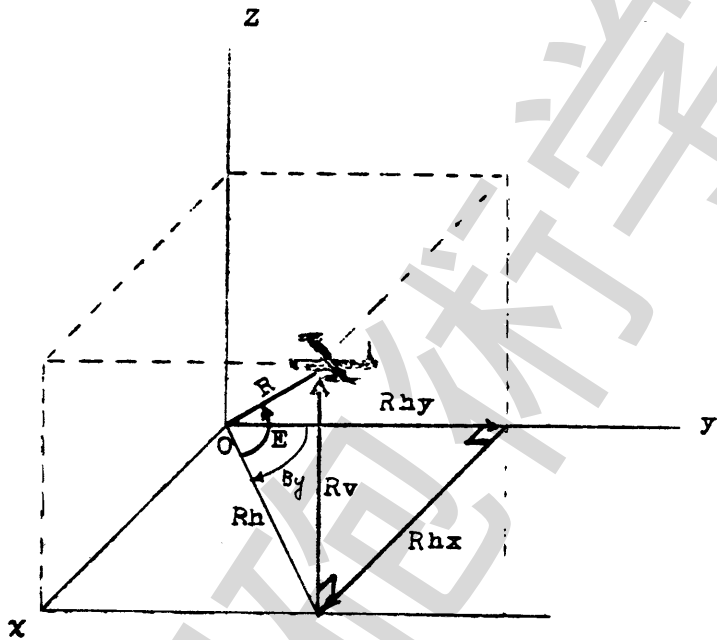


Fig 2-2

直角座標系で表わされる目標現在位置 R_{hx} ・ R_{hy} ・ R_{hz} の R 、 E 、 B_y との間に次の関係が成立つ。

$$R_v = R \cos E$$

$$R_{hx} = R \cos E \cos B_y$$

$$R_{hy} = R \cos E \sin B_y$$

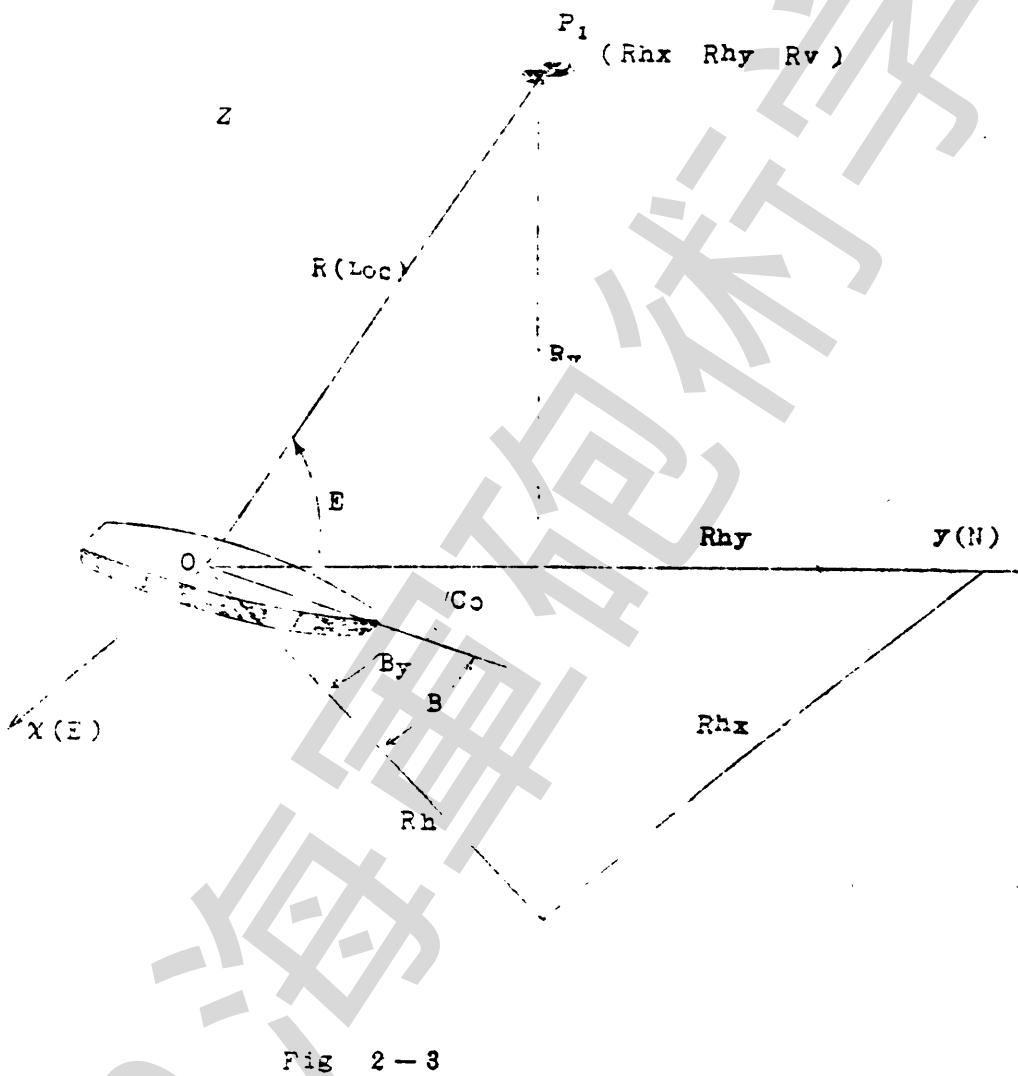
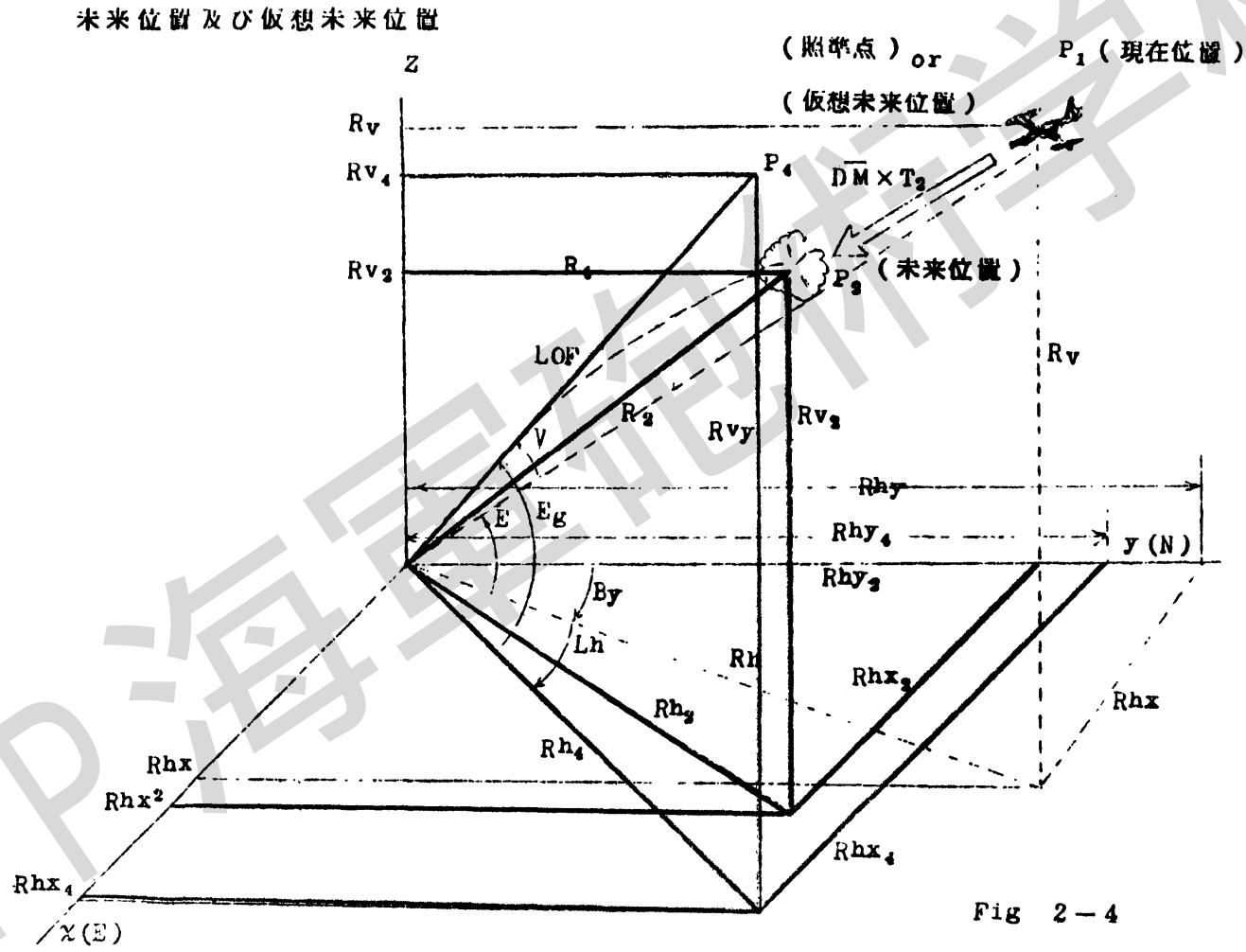
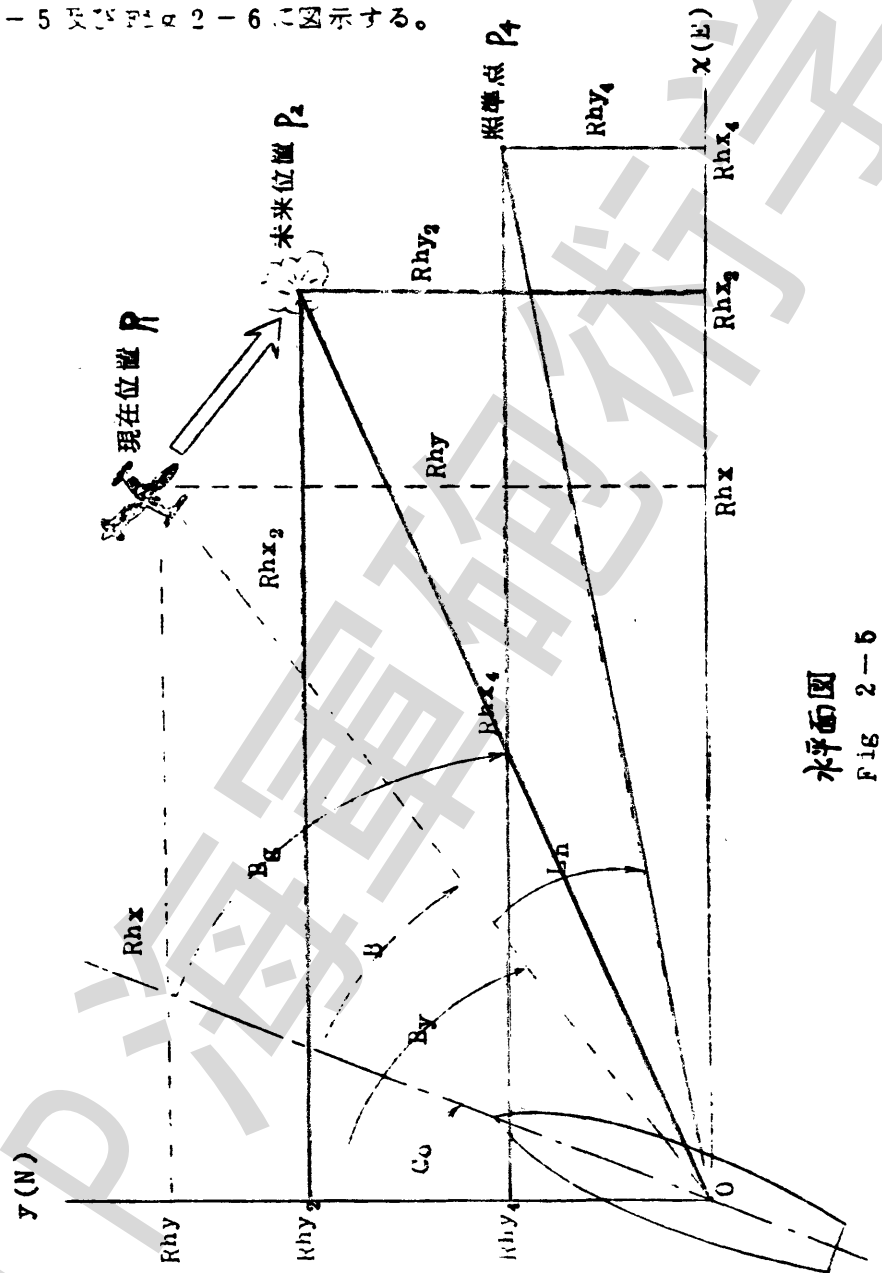


Fig. 2-3



現在位置は、(R_v R_{hx} R_{hy})、未来位置は(R_v, R_{hx}, R_{hy}), 照準点位置は(R_v, R_{hx}, R_{hy})で表示する。これらの関係はFig 2 - 5 及びFig 2 - 6 に図示する。



水平面圖 Fig 2-5

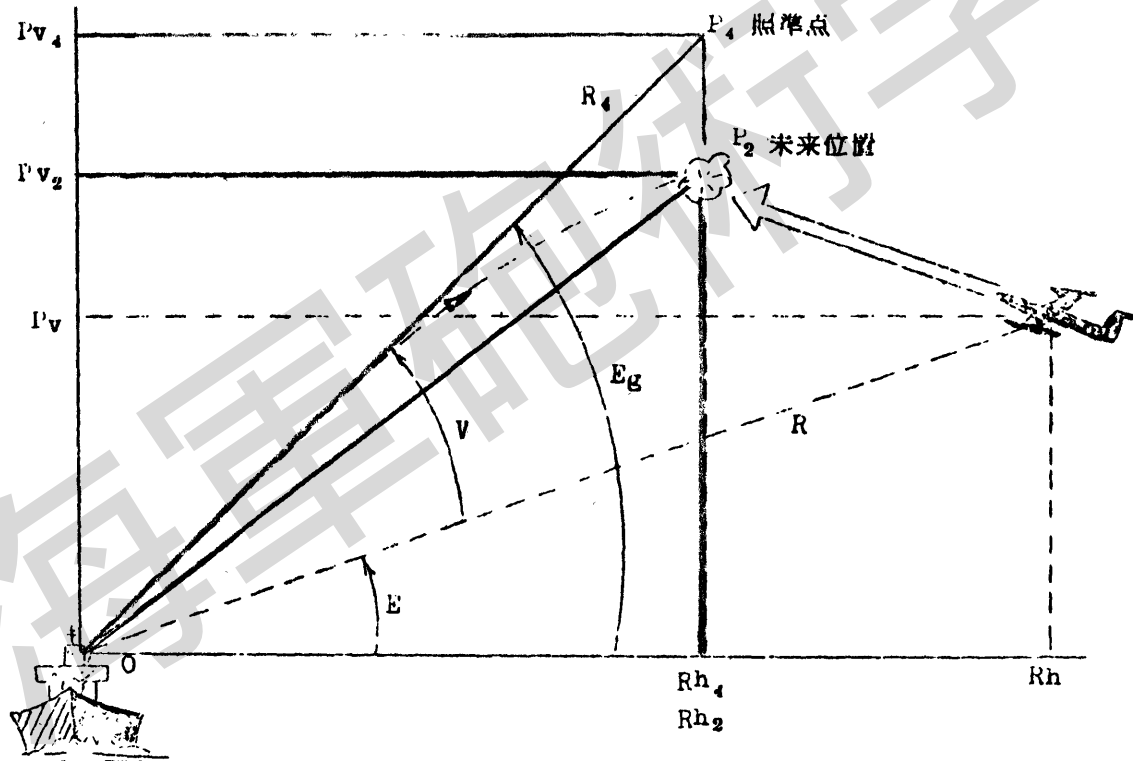


Fig 2-6

3. 速度計算

目標を探知、捕そくすれば、目標の追従が行なわれる。これは光学系統及びレーダーによる自重追従によるが方位盤の旋三角の変化量、アンテナの仰角の変化量、距離追従の変化量を速度発電機(タコセネ)から計上し、これを直角座標系の変化量に変換する。

本指揮装置の速度計算は、図-8、図-9の測的盤で計算され、U-10の射撃盤へ伝達される。この速度計算法でモード1、モード2、モード3、及びモード4の方法がある。

(1) モード1

現在位置は、次のように表わされる。

$$\begin{cases} Rhx = R \cos E \sin By \\ Rhy = R \cos E \cos By \\ Rv = R \sin E \end{cases}$$

従つて、 Rhx の変化量は、上式の三式による微分値になる。

$$\begin{cases} DMhx = \frac{dRhx}{dt} = \frac{dR}{dt} \cos E \sin By - R \sin E \sin By \frac{dE}{dt} + R \cos E \cos By \frac{dBy}{dt} \\ DMhy = \frac{dRh_y}{dt} = \frac{dR}{dt} \cos E \cos By - R \sin E \cos By \frac{dE}{dt} - R \cos E \sin By \frac{dBy}{dt} \\ DMv = \frac{dRv}{dt} = \frac{dR}{dt} \sin E + R \cos E \frac{dE}{dt} \end{cases}$$

今 $\frac{dE}{dt} = DMr$ $\frac{dE}{dt} = DE$ $\frac{dBy}{dt} = DBy$

$$\left\{ \begin{array}{l} DM_{x} = DM_r \cos E \sin B_y - P \cdot DE \sin E \cos B_y + R \cdot D \cos E \cos B_y \\ DM_{y} = DM_r \cos E \cos B_y - R \cdot DE \sin E \cos B_y - R \cdot D \cos E \sin B_y \\ DM_z = DM_r \sin E + R \cdot DE \cos E \end{array} \right.$$

求める x 軸、 y 軸、 z 軸の速度成分とする。

以上を、ベクトルICよつて解析してみる。

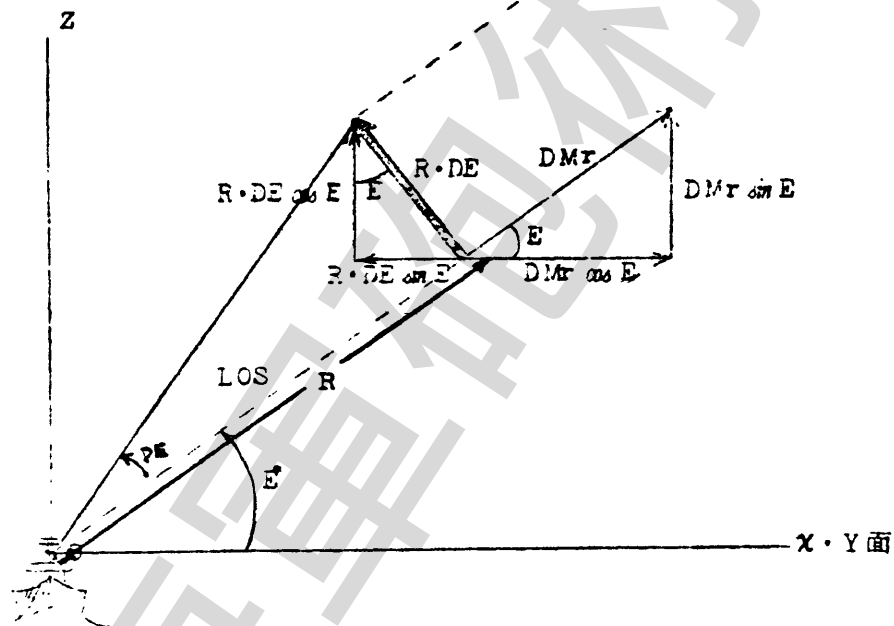
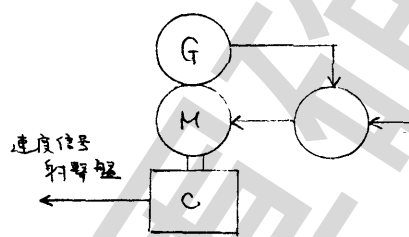
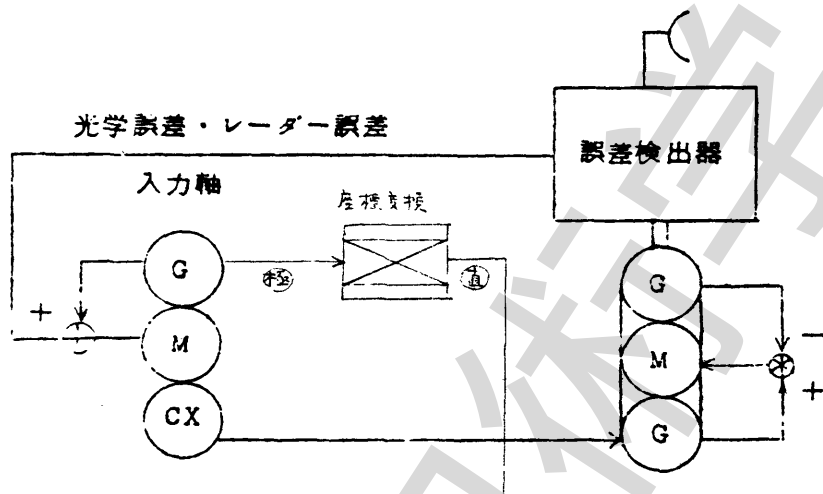


Fig 3-1

$$DM_v = DM_r \cos E + R \cdot DE \cos E \dots \dots \dots z \text{ 成分}$$

$$DM_h = DM_r \cos E - R \cdot DE \sin E \dots \dots \dots x, y \text{ 成分}$$



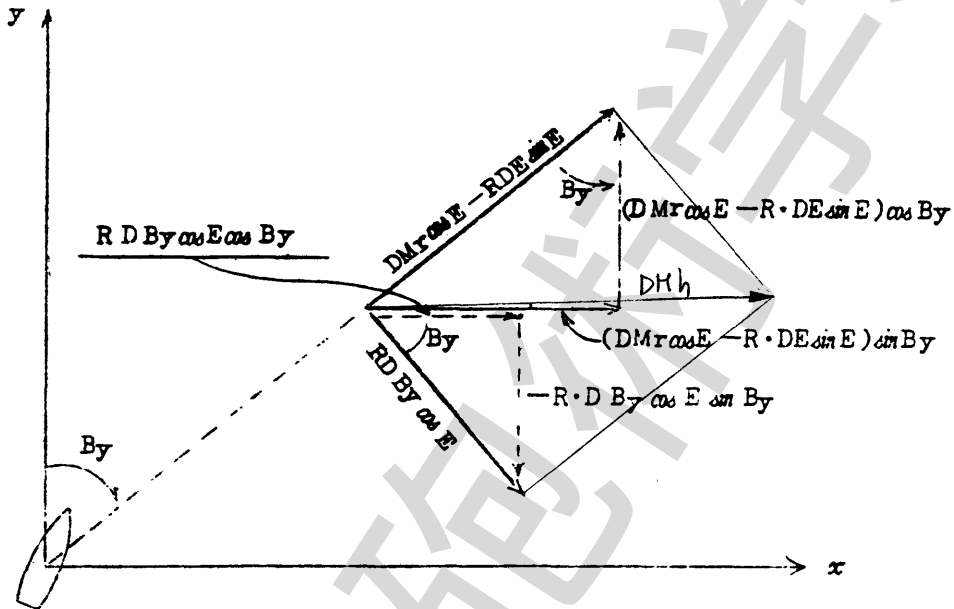


Fig 3-3

DM_hを更に分解すると

$$\begin{aligned}
 DM_{hx} &= (DM_r \cos E - R \cdot DE \sin E) \sin By + R \cdot DBy \cos E \cos By \\
 &= DM_r \cos E \sin By - R \cdot DE \sin E \sin By + R \cdot DBy \cos E \cos By
 \end{aligned}$$

$$\begin{aligned}
 DM_{hy} &= (DM_r \cos E - R \cdot DE \sin E) \cos By - R \cdot DBy \cos E \sin By \\
 &= DM_r \cos E \cos By - R \cdot DE \sin E \cos By - R \cdot DBy \cos E \sin By
 \end{aligned}$$

以上のサーボ計算は、測的盤で行なわれる、実際的な計算は、測的盤系統図を参照。

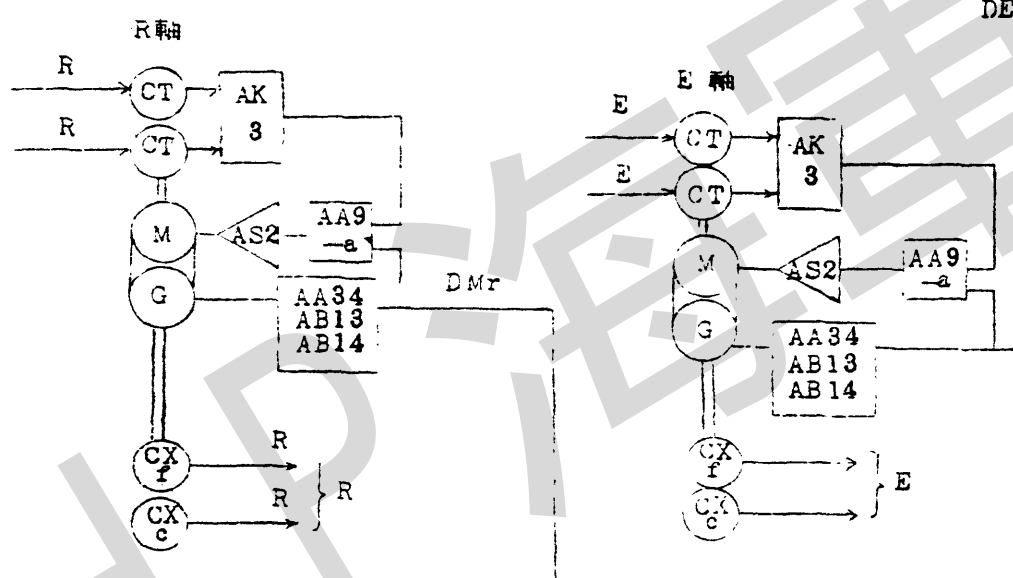
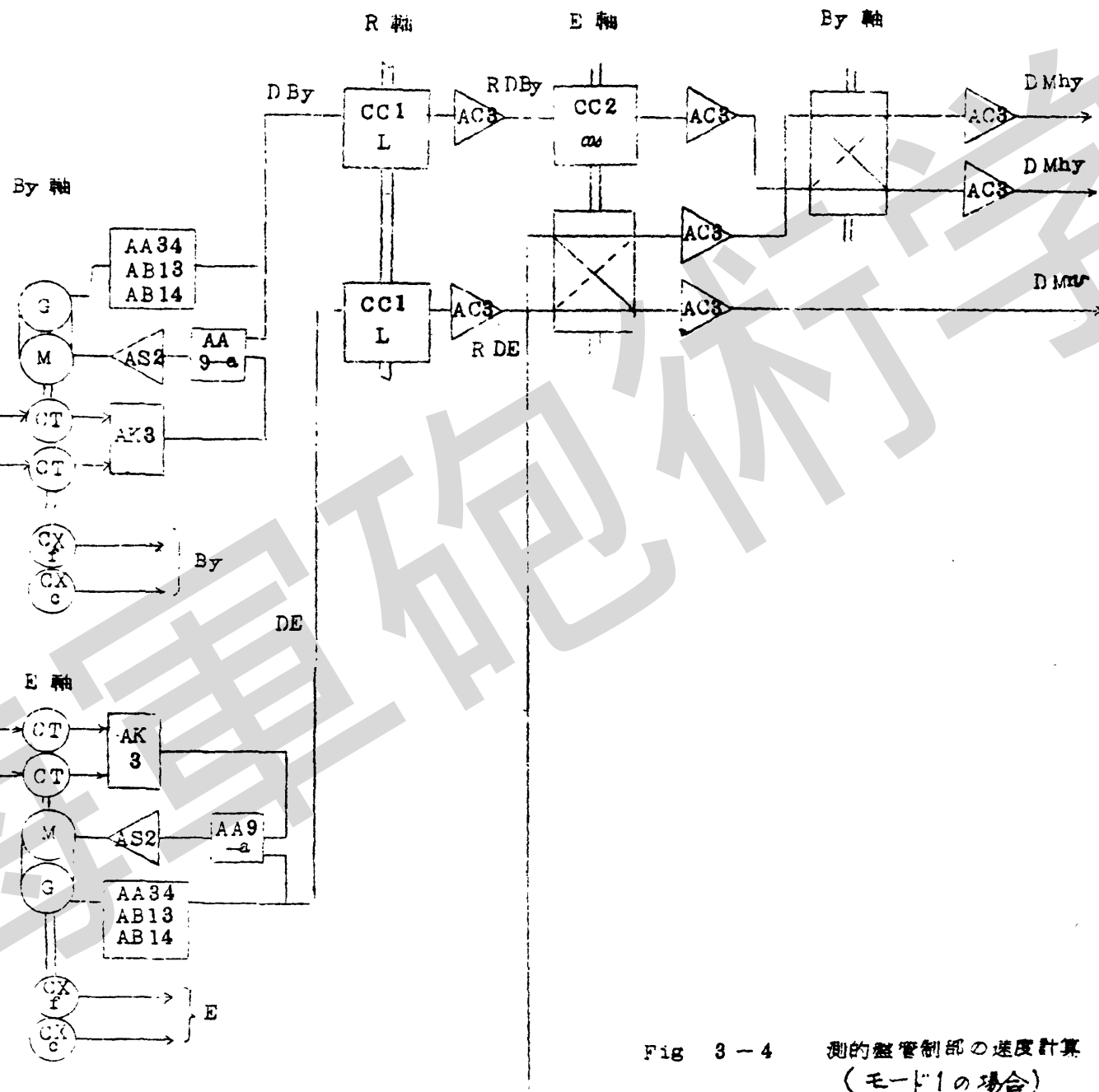
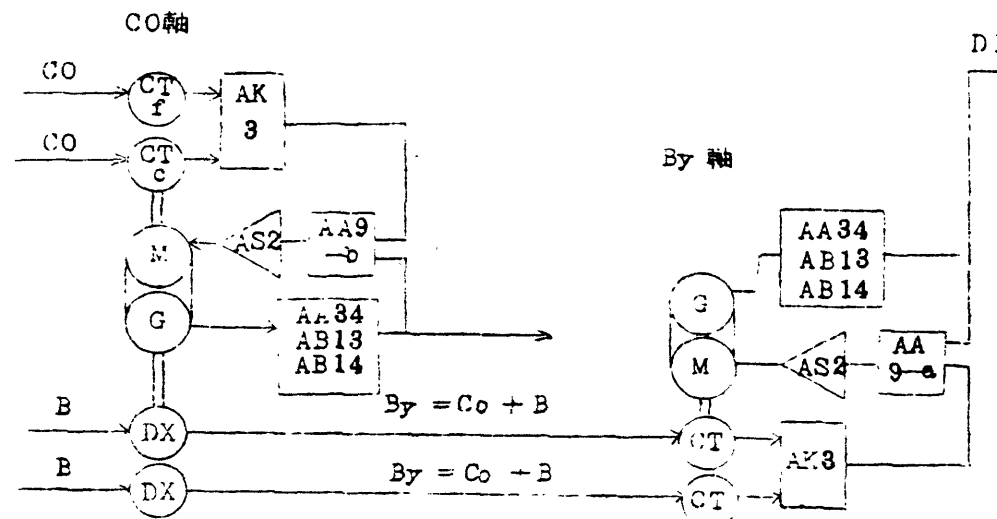


Fig. 3-4 測的監管制御の速度計算
(モード1の場合)

(2) モード 2

モード 2 は、モード 1 で得られるタコゼネレーターの発信速度信号と、再生速度で得た速度信号の差を取り、適当な利得調整の後、積分回路で積分することによって速度信号とする。

再生速度

モード 1 の計算式から次の式が得られる。

$$DM_{hx} = DM_r \cos E \sin By - DE \cdot R \sin E \cos By + DBy \cdot R \cos E \sin By$$

$$DM_{hy} = DM_r \cos E \cos By - DE \cdot R \cos E \sin By - DBy \cdot R \sin E \cos By$$

$$DM_v = DM_r \sin E + DE \cdot R \cos E$$

上式の DM_{hx} DM_{hy} 及び DM_v から逆に DM_r DE 及び DBy を計出するのを再生速度といいう。これは次式のようになる。

$$\overline{DM_r} = DM_{hx} \sin E \cos By + DM_{hy} \cos E \cos By + DM_v \sin E$$

$$\overline{DBy} = \frac{1}{R} \{ -DM_{hx} \sin E \sin By - DM_{hy} \cos E \sin By + DM_v \cos E \}$$

$$\overline{DE} = \frac{1}{E \cos E} \{ DM_{hx} \cos By - DM_{hy} \sin By \}$$

今、再生速度で計出されたものを $\overline{DM_r}$ \overline{DE} \overline{DBy} とし、

$$DM_r - \overline{DM_r} = e(R)$$

$$DE - \overline{DE} = e(E)$$

$$DBy - \overline{DBy} = e(By)$$

これらの差を速度誤差成分とする。

$$\left\{ \begin{array}{l} r(DMhx) = e(R) \cos E \sin By - e(E) R \sin E \sin By \\ \quad + e(By) \cos E \cdot R \cos By \\ r(DMy) = e(R) \cos E \cos By - e(E) R \sin E \cos By \\ \quad - e(By) \cos E \cdot R \sin By \\ r(DMv) = e(R) \sin E + e(E) R \cos E \end{array} \right.$$

として、これを積分回路にかけることによって

$$DMhx = \omega_C \omega_1 \int r(DMhx) dt$$

$$DMy = \omega_C \omega_1 \int r(DMy) dt$$

$$DMv = \omega_C \omega_1 \int r(DMv) dt$$

として、速度成分とする。

$\omega_C \omega_1$ は、積分サーボ・ループのゲイン定数を示す。

実際的には、 $e(R)$ $e(E)$ $e(By)$ は、下図のよう^にゲート目標エコーの差位で表われる。

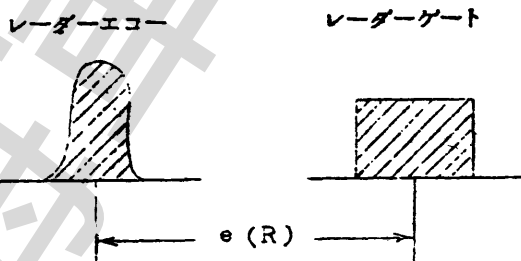


Fig 3-5 $e(R)$ の場合

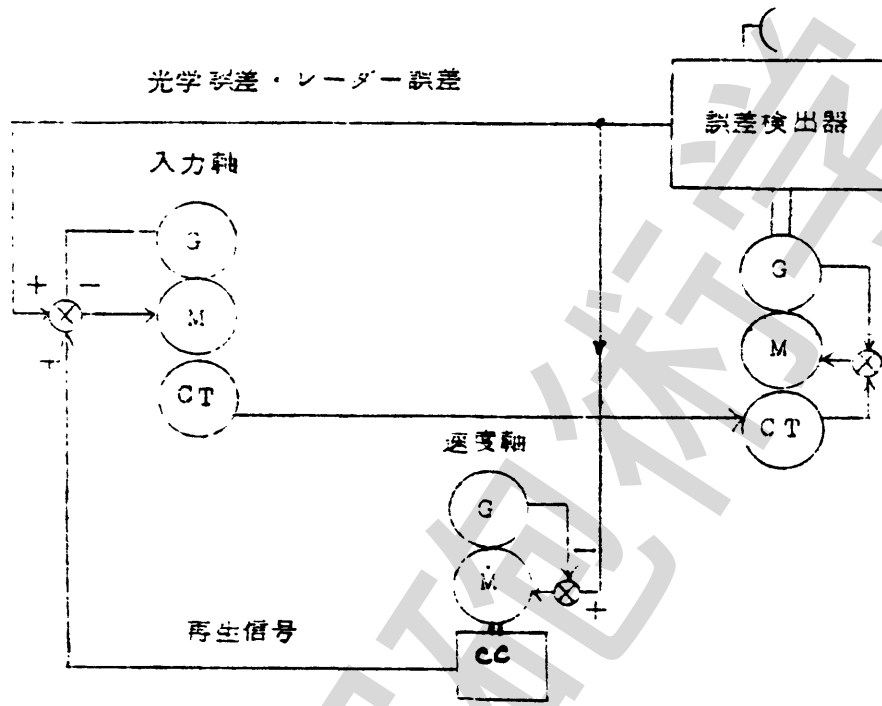


Fig. 3-6 モード 2

(3) モード 3

モード 1 の計算によって得られる DM_r DE DBy から DM_{hx} 、
 DM_{hy} 及び DM_v が得られこれらから DM 、 Et 及び C が計出され、測
 的盤のディスプレーに表示される。

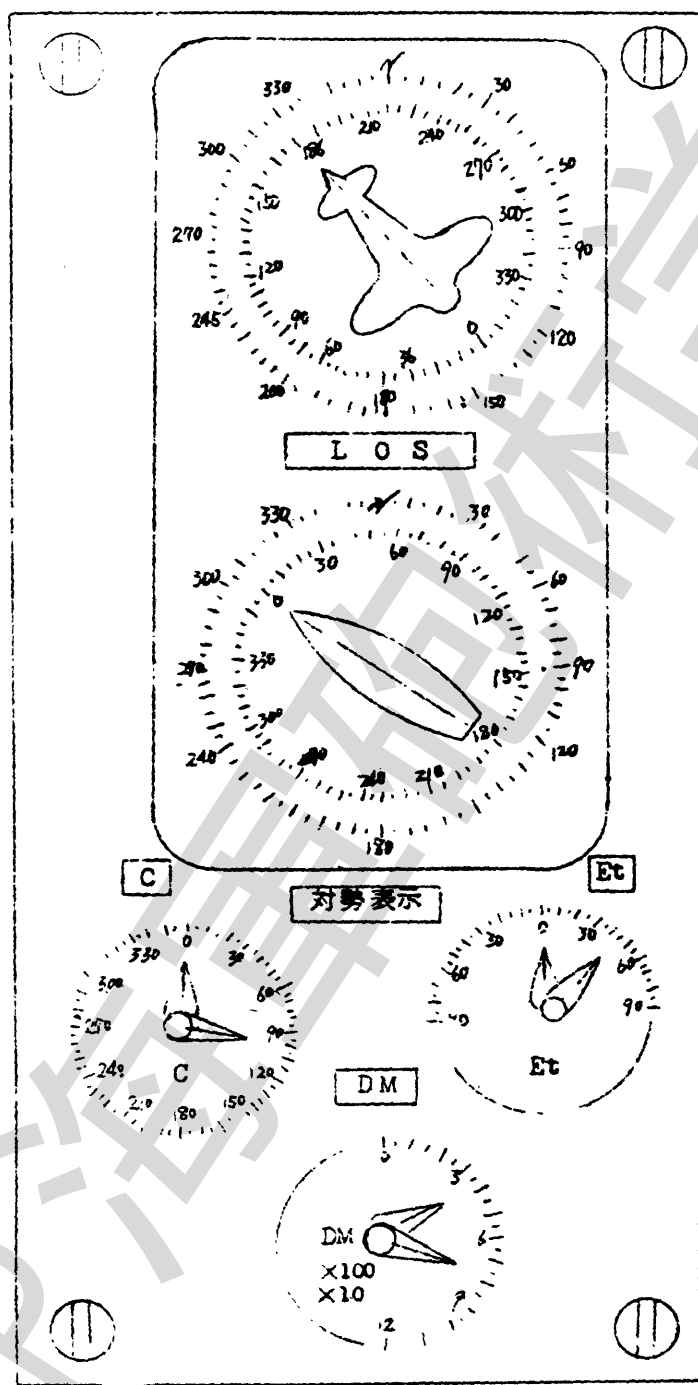


Fig 3-7

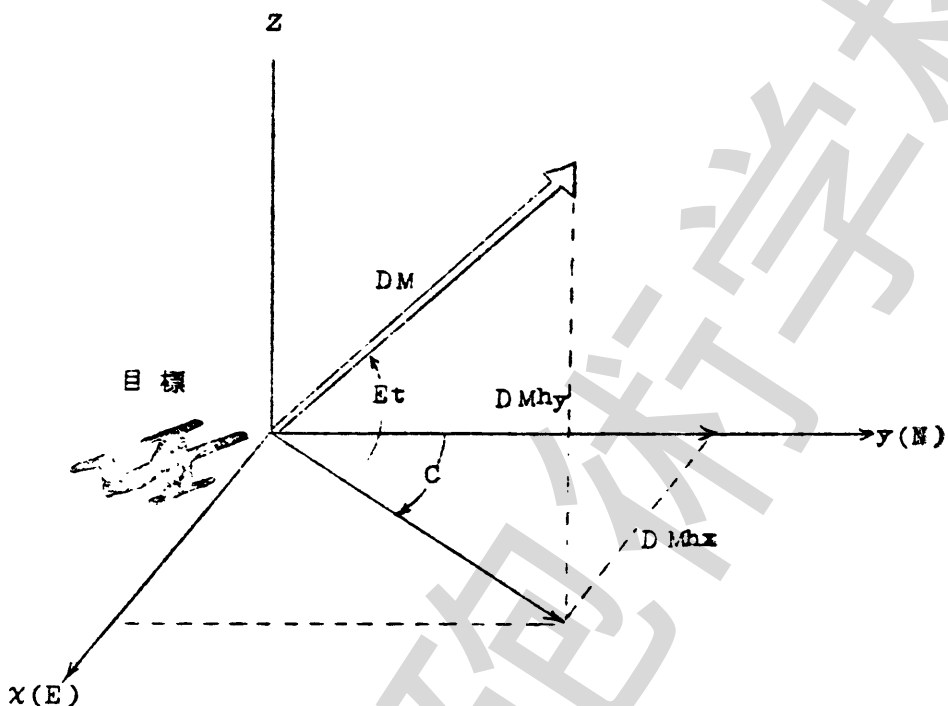


Fig 3-8

Fig 3-8 に表わされるように

$$DM_{hx} = DM \cos Et \sin C$$

$$DM_{hy} = DM \cos Et \cos C$$

$$DM_v = DM \sin Et$$

の計算式となる。測的整では、次式の三角形解法によるサーボ連立方程 式 C、Et 及び DM を表示する。

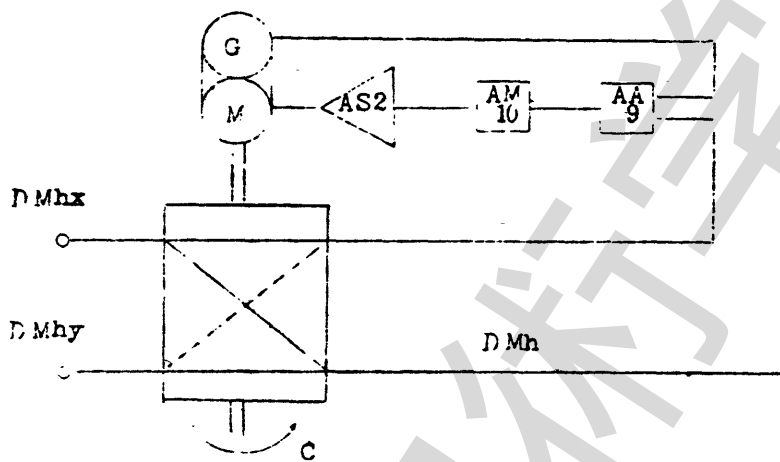


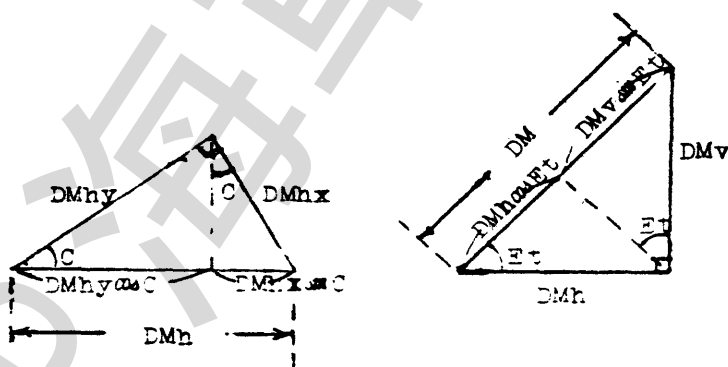
Fig 3 - 9

$$DM_{hx} \text{ at } C - DM_{hy} \text{ at } C = 0$$

$$DM_{hx} \text{ at } C + DM_{hy} \text{ at } C = DM_h$$

$$DM_v \text{ at } Et - DM_h \text{ at } Et = 0$$

$$DM_v \text{ at } Et + DM_h \text{ at } Et = DM$$



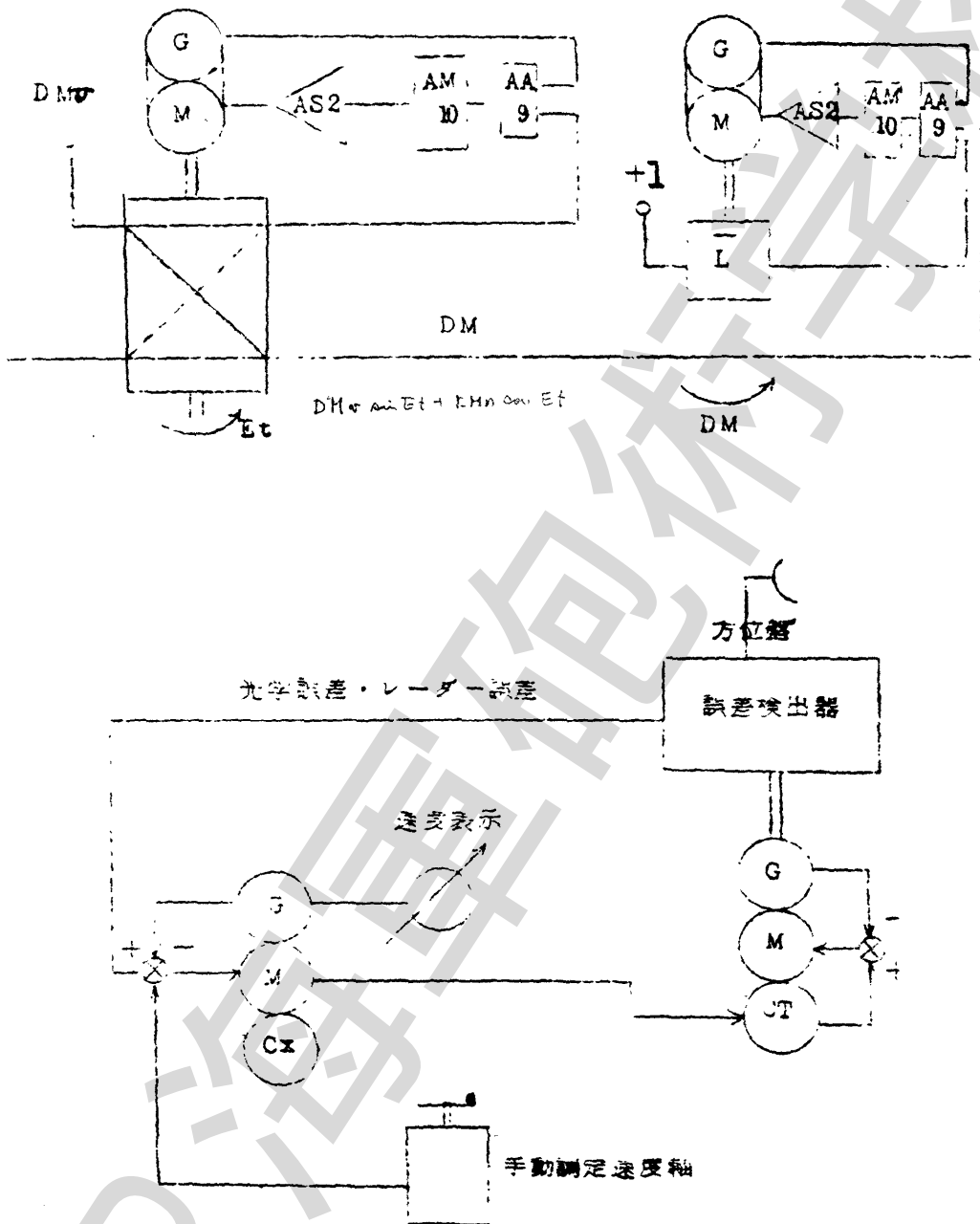


Fig. 3-10 e-F 3

(4) モード4

モード4は、目標エコーを追従することによって得られた過去のデータをもとにしてモード2に述べた再生速度によって、速度計算を行なう。

目標フェード中、レーダー、ブラウン管や光学射照器TVカメラに目標が断続的に現われた時、ジョイスティクで補正計算ができる。

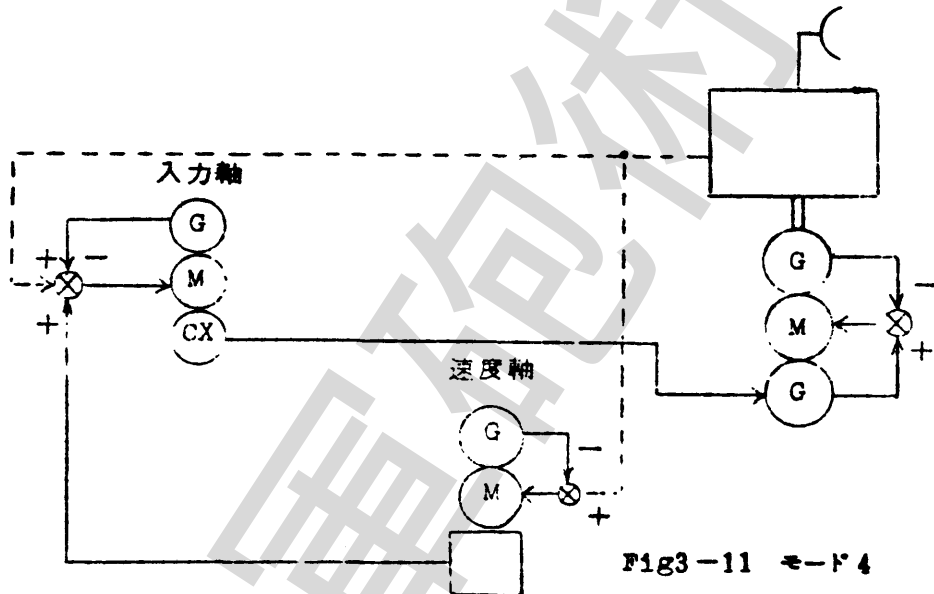


Fig3-11 モード4

モード4は、コンピュータ・エンディング方式であり、目標をフェードした場合それまでの計算した速度で目標を等速直線運動するものとして計算値のみで自動追従及びその他の計算を行なうものである。いわゆる盲追従である。従つて、速度、方向の変化する目標には、かえつて誤差を生ずるので長時間の使用は、禁物である。（本装置では30秒程度としている。）

(5) 速度平滑

目標を艦上で測定するには、次のような外乱をうける。

- (1) レーダー波反射強度の変化
- (2) 艦の動搖修正の不完全による入力変動
- (3) 艦の振動の入力変動
- (4) 温度変化のための電子騒乱による雑音

目標の計測は、複雑なリップル成分を含み、平滑な計算が行なわれない。特に位置信号から速度信号を計出すには微分機構より微分操作をしなければならない。この際、リップル成分は大きな変動となつて安定な速度計出ができない。従つて、計出値はフィルターを通してよつて平滑化を行なつてある。

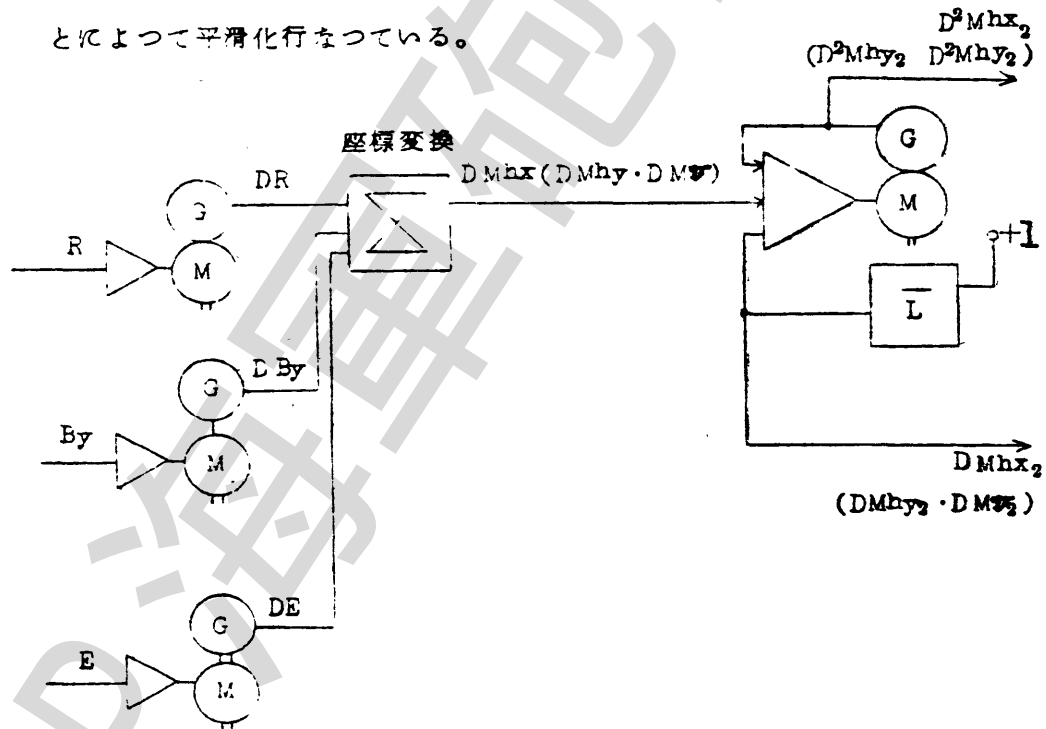


Fig. 3-12 速度平滑ブロック図

$$DM_{hx_1} = \frac{1}{1 + \tau_s} DM_{hx}$$

$$DM_{hy_1} = \frac{1}{1 + \tau_s} DM_{hy}$$

$$DM_{rv_1} = \frac{1}{1 + \tau_s} DM_v$$

但し、 τ_s はフィルターの時定数で 1 次遅れの速度計出を行なつてゐる。

$\tau = 0.2 \text{ sec} \quad 0.5 \text{ sec} \quad 1.0 \text{ sec} \quad 2.0 \text{ sec} \quad 4.0 \text{ sec}$ の切換え

(6) 曲線予想

曲線予想とて、目標の加速度変化に対しても有効な射撃を実施するため、加速度計算を行なつてゐる。速度軸を微分することによつて、タコセネ電圧を加速度として出している。

即ち、等速直線運動の目標運動を曲線飛行へ考え方を広げたもので、陸上高射砲ではすでにこの考えは採用されていたが、艦砲は相対速度のため非常に理論的困難性がある。

$$D^3 M_{hx} = \frac{d}{dt} (DM_{hx_1})$$

$$D^3 M_{hy} = \frac{d}{dt} (DM_{hy_1})$$

$$D^3 M_v = \frac{d}{dt} (DM_{rv_1})$$

により予測計算を行なつてゐる。

しかし、これらの計算は、目標の意志を判断することで、これは不可能であり、三・計算にうざらざるを得ない。この対策として

(1) 発砲から目標撃滅までの経過時間とを短縮すること。

初速度を増し、飛行秒時を縮少する。

(2) 誘導兵器を使用する。

本、G F C Sにおいて、3さの加速度変化を取つてある。

$$\alpha = 3 \times 9.8 \text{ m/sec}^2$$

$$= 29.4 \text{ m/sec}^2$$

$$= 31.0 \text{ ヤード/sec}^2$$

として最大値は 50 ヤード/sec² の値とし、50 ヤード/sec² を 1 (15 V 440 Hz) としている。

目標が加速度運動を行なつてゐる場合、D Mhx, D Mhy, 及び DMv, は、時間変化を行ない、速度は次のように示される。

$$D M h x = D M h x_0 + D^2 M h x_0 t$$

$$D M h y = D M h y_0 + D^2 M h y_0 t$$

$$D M v = D M v_0 + D^2 M v_0 t$$

平滑するため時定数 τ 速変遅れが生ずるので $\tau D^2 M h x_0 + \tau D^2 M h y_0 + \tau D^2 M v_0$ だけ補正する必要がある (τ は平滑に要する時定数)

$$\overline{D M h x} = D M h x_0 + D^2 M h x_0 t + \tau D^2 M h x_0$$

$$\overline{D M h y} = D M h y_0 + D^2 M h y_0 t + \tau D^2 M h y_0$$

$$\overline{D M v} = D M v_0 + D^2 M v_0 t + \tau D^2 M v_0$$

弾丸の発射後から命中するまでの目標の変化量は

$$\int_0^{T_2} \overline{D M h x} dt = \int_0^{T_2} (D M h x_0 + D^2 M h x_0 t + \tau D^2 M h x_0) dt$$

$$D M h x T_2 = (D M h x_0) T_2 + T_2 (D^2 M h x_0) \frac{T_2^2}{2} + \tau (D^2 M h x_0) T_2$$

$$\overline{D M h x} = D M h x_2 + \frac{1}{2} D^2 M h x (T_2 + 2\tau)$$

$$\overline{D M v} = D M v_2 + \frac{1}{2} D^2 M v (T_2 + 2\tau)$$

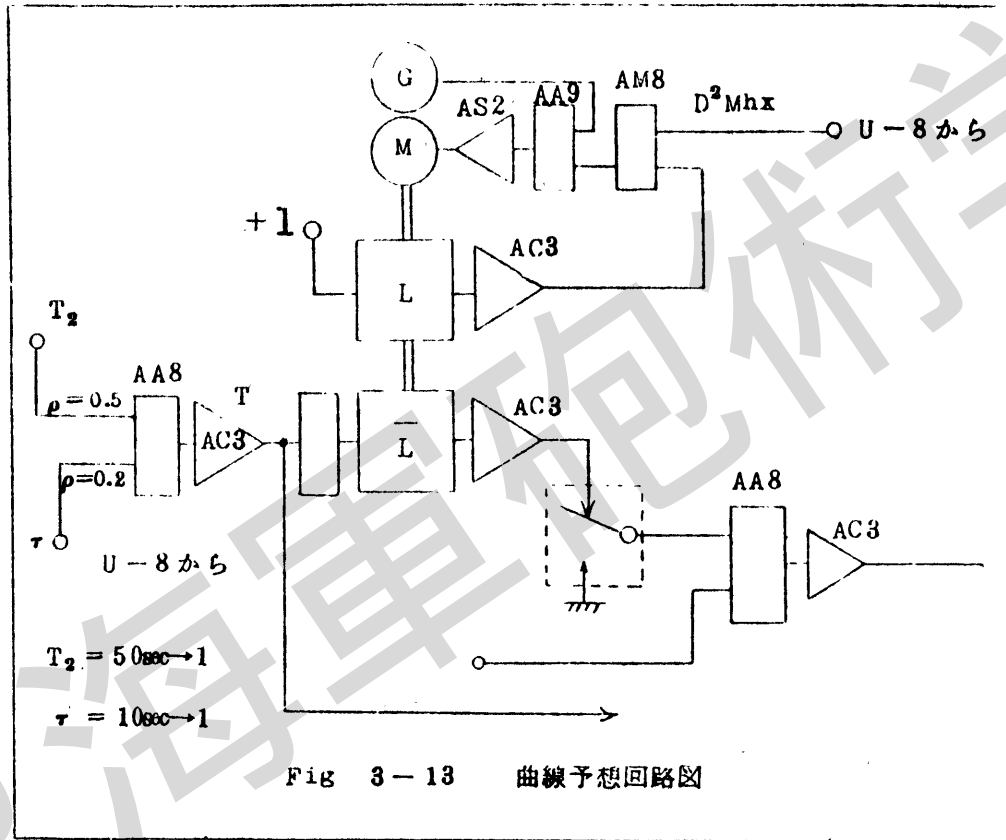


Fig 3-13 曲線予想回路図

$\tau_s = 0.5$ $\tau = 0.2$ の選択理由

T_s は、 50 sec が 1 - 15 V 400 Hz

τ は、 10 sec が 1 - 15 V 400 Hz

$(\tau + \frac{1}{2} T_s)$ を計算するに

AA 8 への入力は、 0.5 T_s 及び 0.2 τ となる。

これを電圧で示せば

$$\frac{15}{50} \times 0.5 T_s (\text{V}) = \frac{15}{100} T_s (\text{V})$$

$$\frac{15}{10} \times 0.2 \tau (\text{V}) = \frac{30}{100} \tau (\text{V})$$

よつて、 AA 8 の出力は、 加算回路であるから

$$\frac{30}{100} (\tau + \frac{1}{2} T_s) \text{ V} \text{ となり、 式が満足される。}$$

4 照準位置の決定

目標を測的することによって、的針的速を計出し x 軸、 y 軸、 z 軸の線速度成分が測的盤で得られ、射撃盤へ DM_{hx} 、 DM_{hy} 、 DM_v 及び D^3M_{hx} 、 D^3M_{hy} 、 D^3M_v を伝達する。

射撃盤においては、これらに飛行秒時を乗算することによって、飛行秒時中の移動量を計出す。即ち目標の未来位置の座標を決定することである。更に、照準位置を決定するには、基準弾道の修正と基準弾道の補正、即ち、当日修正量を加算し、照準位置を決定しなければならない。

現在位置の決定、 T_s の計出、未来位置の決定、弾道の計出、照準位置の決定と連続的に計算サーボが作動しある照準位置に收れんする。

弾道計算は、高精度につくられた弾道コンデンサから得られる。射線方向の弾道修正射線と直角成分の弾道修正、及び鉛直方向の弾道修正の三つに分けられる。

(1) 射線方向の弾道修正

射線方向の弾道修正に、初速度偏差 $U(Mrh)$ 、空気密度偏差 $X(Mrh)$ 気温偏差 $Y(Mrh)$ ($5^{\circ}/54$ 磁石は計算されない) 及び射線方向の風力偏差 $W(Mrh)$ であり、次式で計算される。

$$G_{z1} = \frac{U(Mrh)}{R_s} - \frac{X(Mrh)}{R_s} - \frac{Y(Mrh)}{R_s} + \frac{W(Mrh)}{R_s}$$

(2) 射線の左右方向の弾道修正

射線の左右方向の弾道修正は、弾丸のスピン(自転)による定偏修正量 $\delta(Mr)$ 及び射線の左右成分の風力偏差 $W(Mr)$ の修正が行なわれ次式で計算される。

$$G_{z2} = \frac{\delta(Mr)}{R_s} + \frac{W(Mr)}{R_s}$$

(3) 鉛直成分の修正

鉛直成分の修正は、重力降下量 $b(Mv)$ 、初速度変化の修正 $U(Mv)$ 及び気温変化修正 $Y(Mv)$ であり、式で示される。

$$G_{zz} = \frac{b(Mv)}{R_4} + \frac{U(Mv)}{R_4} + \frac{X(Mv)}{R_4} - \frac{Y(Mv)}{R_4}$$

(4) 苗頭修正 x y z 成分

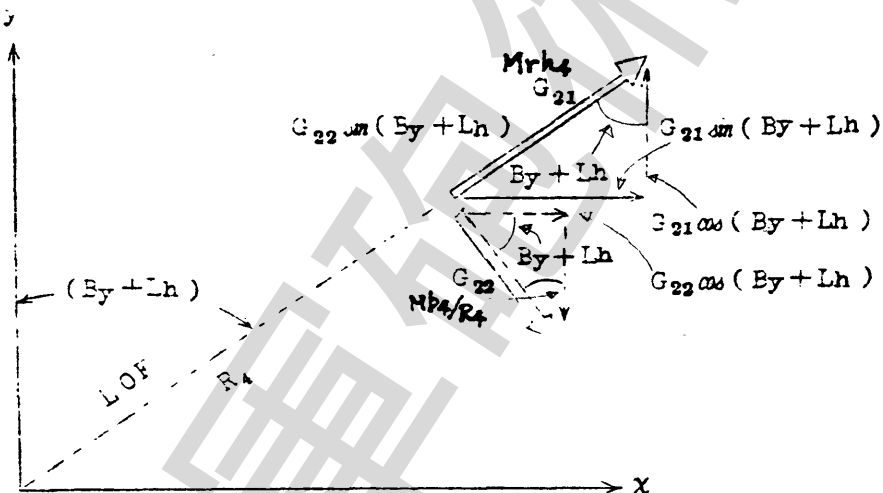


Fig. 4-1

弾道修正量は、大きさと方向を有するベクトル量であり、射線方向、射線と直角方向の成分は x 軸、y 軸に分解し、目標の移動計出量と同方向成分として加算する必要がある。

Fig. 4-1 に示すとおり、 G_{21} は、x 軸成分が $G_{21} \sin(B_y + L_h)$ 、y 成分が $G_{21} \cos(B_y + L_h)$ で、 G_{22} は x 軸成分が $G_{22} \cos(B_y + L_h)$ 、y 成分が $-G_{22} \sin(B_y + L_h)$ へ分解される。

又、 z 成分のベクトルは分解の必要がなく、見越量の三成分は次式で示される。

$$\frac{Mhx_4}{R_4} = \frac{T_z}{R_4} DMhx_2 + G_{zz} \text{cos}(By + Lh) + G_{zz} \text{sin}(By + Lh)$$

$$\left(+ \frac{Z(Mhx)}{R_4} \right)$$

$$\frac{Mhy_4}{R_4} = \frac{T_z}{R_4} DMhy_2 + G_{zz} \text{cos}(By + Lh) - G_{zz} \text{sin}(By + Lh)$$

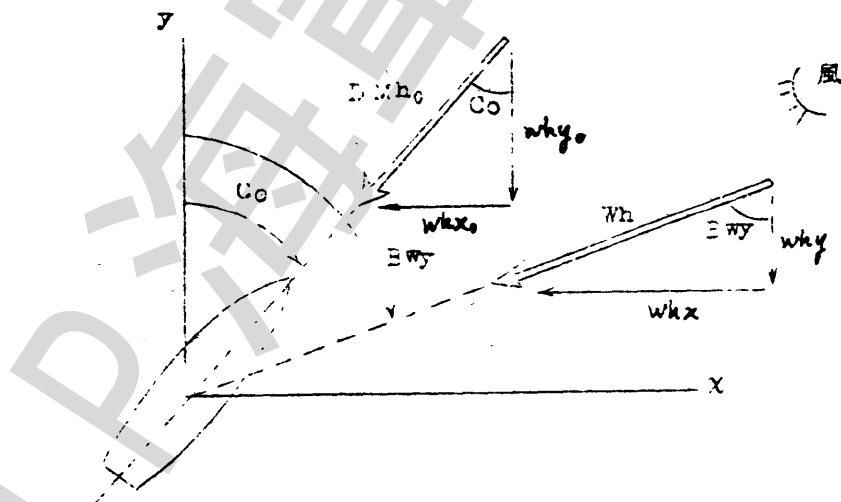
$$\left(+ \frac{Z(Mhy)}{R_4} \right)$$

$$\frac{Mv_4}{R_4} = \frac{T_z}{R_4} DMv_2 + G_{zz} + \frac{Z(Mv)}{R_4}$$

上式の $\frac{Z}{R_4}$ は、陸上射撃に OFF SET させるべき x y z 成分である。

(5) 風力修正成分

風力は、測的盤 U 8-D ドロフに真の弾道風及び弾道風速を調定することによって計算される。



風力は、自速による風力、自然風のベクトルを x 軸・ y 軸に分解して加算され、相対風速とされる。即ち次の計算がなされる。

$$\begin{cases} Whx_0 = CM_{R_0} \cos CO \\ Wh.y_0 = CM_{R_0} \sin CO \\ Whx = Wh_0 \cos Bwy \\ Wh.y = Wh_0 \sin Bwy \\ Whxa = Whx + Whx_0 \\ Whya = Wh.y - Why_0 \end{cases}$$

$Whxa$ 及び $Whya$ は、更に射線方向と射線と直角方向の成分に分解される。

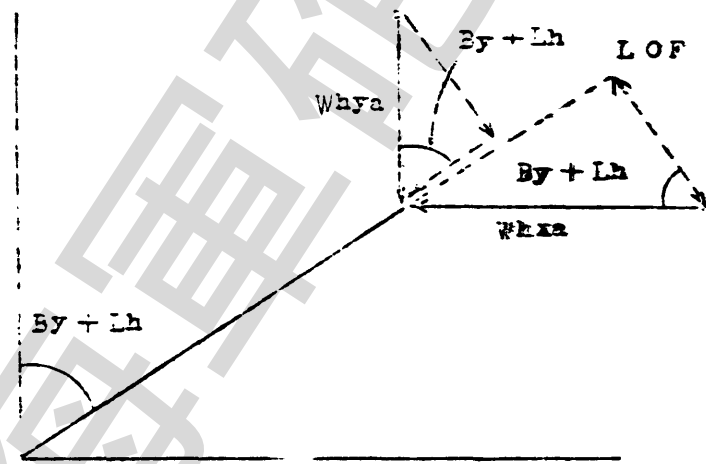


Fig. 4-3

射線方向の相対風成分を $Whxa$ 射線と直角方向の相対風成分 $Whya$ とすれば、次の式となる。

$$\begin{aligned}
 W_{ra} &= Wh_{xa} \sin(Ey + Lh) + Wh_{ya} \cos(Ey + Lh) \\
 &= Wh_{xa} (\sin Ey \cos Lh + \cos Ey \sin Lh) + Wh_{ya} (\cos Ey \sin Lh) \\
 &\quad - \sin Ey \sin Lh \\
 &= (Wh_{xa} \sin By + Wh_{ya} \cos By) \cos Lh + (Wh_{xa} \cos By \\
 &\quad - Wh_{ya} \sin By) \sin Lh
 \end{aligned}$$

$$\begin{aligned}
 W_{ba} &= Wh_{xa} \cos(By + Lh) - Wh_{ya} \sin(By + Lh) \\
 &= Wh_{xa} (\cos By \cos Lh - \sin By \sin Lh) - Wh_{ya} (\sin By \cos Lh \\
 &\quad + \cos By \sin Lh) \\
 &= (Wh_{xa} \cos By - Wh_{ya} \sin By) \cos Lh - (Wh_{xa} \sin By \\
 &\quad + Wh_{ya} \cos By) \sin Lh
 \end{aligned}$$

弾道コンデンサ 3F14(5F11)、3F15(5F12)を加算すること
によって、 $\frac{W(Mrh)}{R_4}$ 及び $\frac{W(Mb)}{R_4}$ を計算する。 主機数

$$3F \rightarrow T_2/R_4$$

$$\frac{W(Mrh)}{R_4} = W_{ra} f\left(\frac{T_2}{R_4}\right) = W_{ra} \cdot 3F14$$

$$3G \rightarrow E_J$$

$$\frac{W(Mb)}{R_4} = W(Mb) f\left(\frac{T_2}{R_4}\right) = W_{ba} \cdot 3F15$$

5 眼鏡角の計出

(1) 四尺角(上下苗頭)の計算

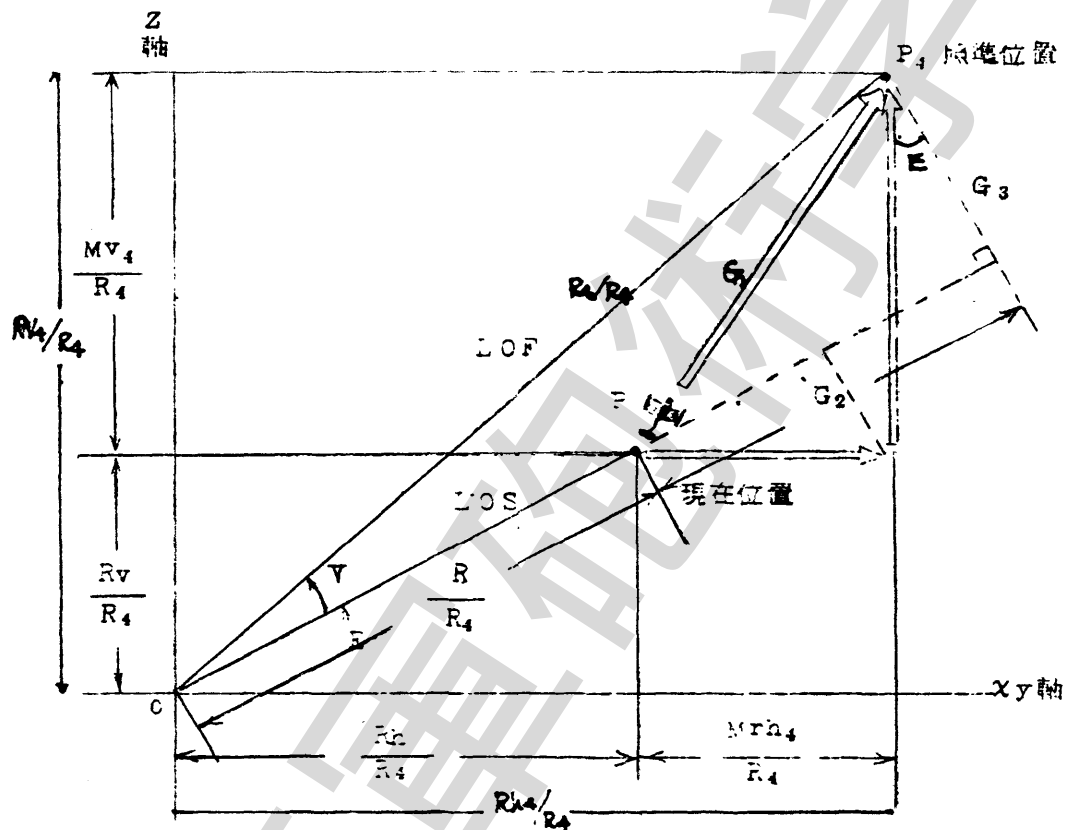


Fig. 5-1

苗頭の計算は、ベクトルの分解による幾何学計算を行なう。

Fig. 5-1 参照。

$$G_2 = \frac{Mv_4}{R_4} \sin E - \frac{Mrh_4}{R_4} \cos E$$

$$G_3 = \frac{Mv_4}{R_4} \cos E - \frac{Mrh_4}{R_4} \sin E$$

$$\left(\frac{R}{R_4} + G_2 \right) \sin V - G_3 \cos V = 0$$

Fig 5-2 図示すサーボ連立方程式の解法によつてVを計出する。

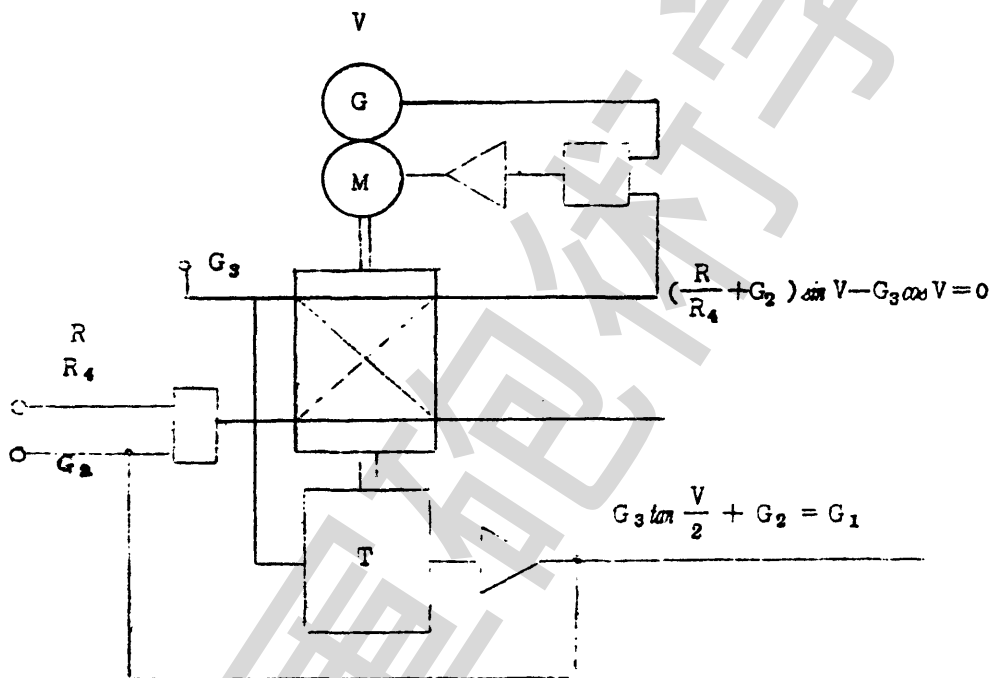


Fig 5-2

(2) R_4 (指向距離) の計算

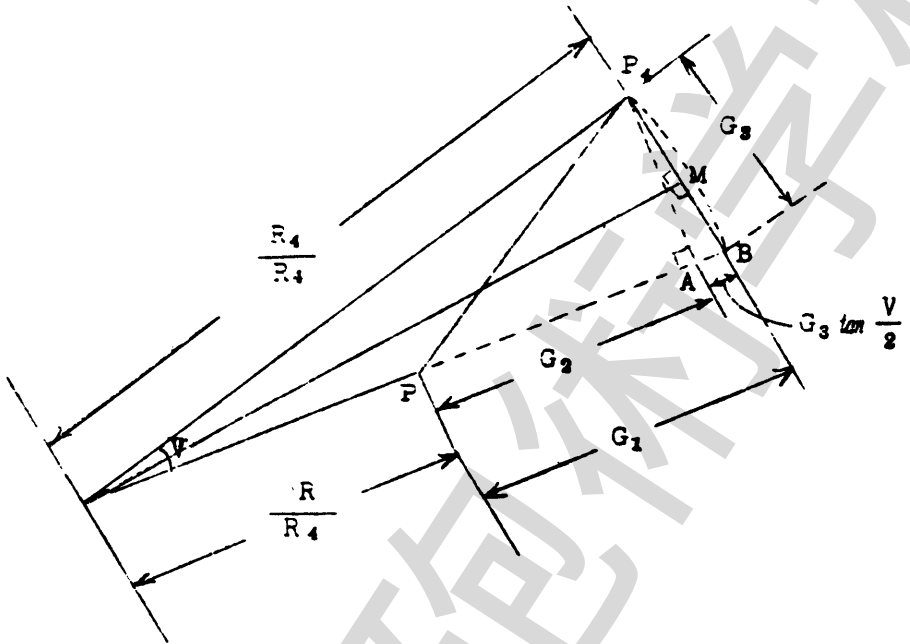


Fig 5-8

全ての計算の基礎となつている R_4 は、基準弾道計算部で弾道コンデンサで計上される値と、苗頭計算に得られる R_4 を相互に比較する。 R_4 純と $\frac{R}{R_4}$ 純とは、當時サーボニードルを形成し、照準位置と未来位置は連ニカルボ解法を行なつてゐることで注意すべきである。

これは、計上値と計算の発生とが正しく合致しているかをフィードバックによつて比較する閉ループを形成している。

$$R_4 = 5F1 + 5F2(5F1 - 0.065) - 5F3(3G2 - 1.015) \\ - 5G3$$

$$R_4 = 3F1 + 3F2(3G1 - 0.071) + 3F3(3G2 - 0.02)$$

で計算し、苗頭計算で得られる R_1 は次の式による。

$$G_1 = G_2 + G_3 \frac{V}{2}$$

$$R_1 = R + R_1 G_1$$

A B が $G_3 \frac{V}{2}$ となるのは $\triangle OP_4 M$ と $\triangle AP_4 B$ において

$\angle OP_4 M = \angle ABP_4 = \frac{V}{2}$ であるから $AB = G_3 \frac{V}{2}$ となる。

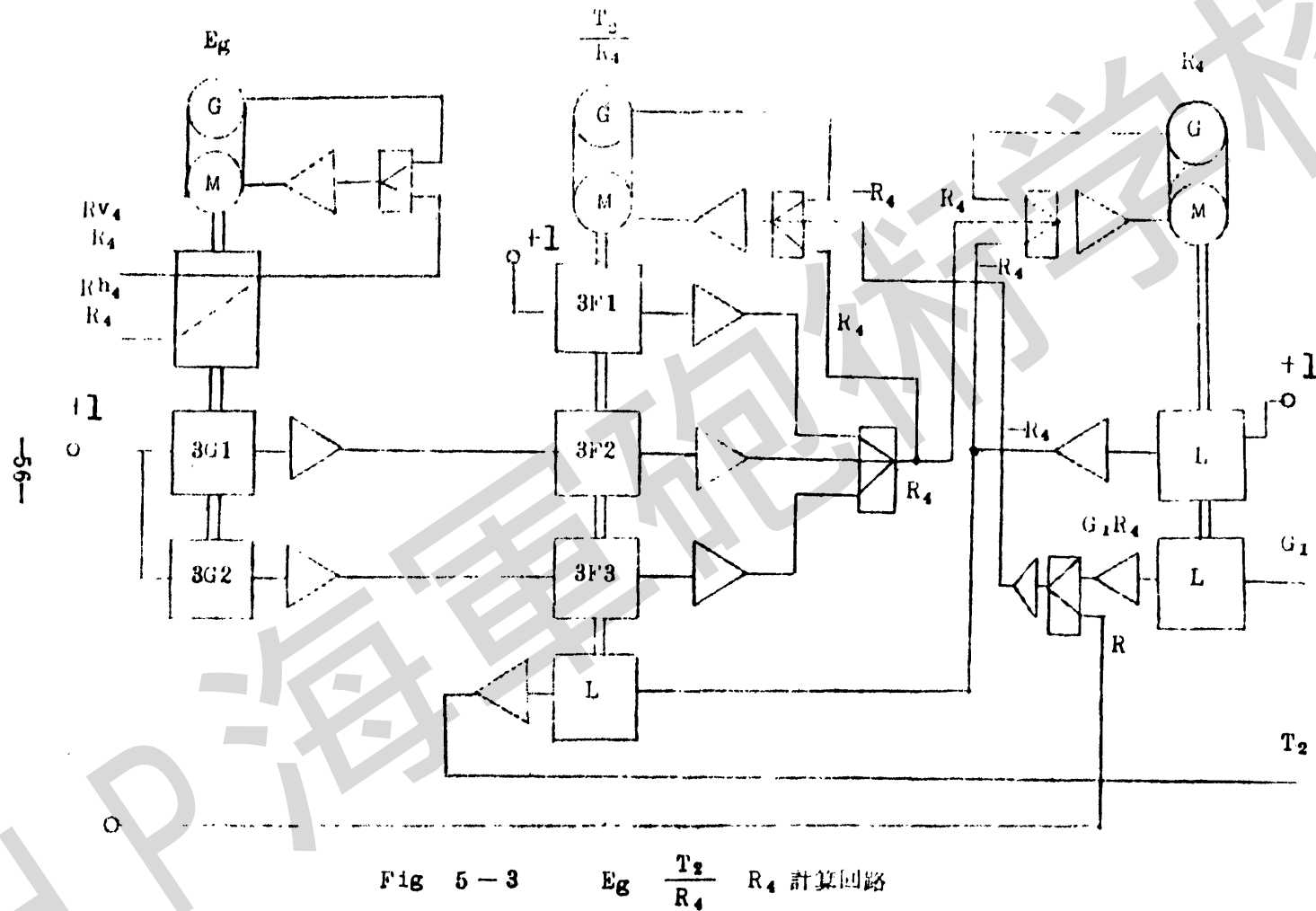


Fig 5-3 Eg $\frac{T_2}{R_4}$ 計算回路

(3) E_g の計出

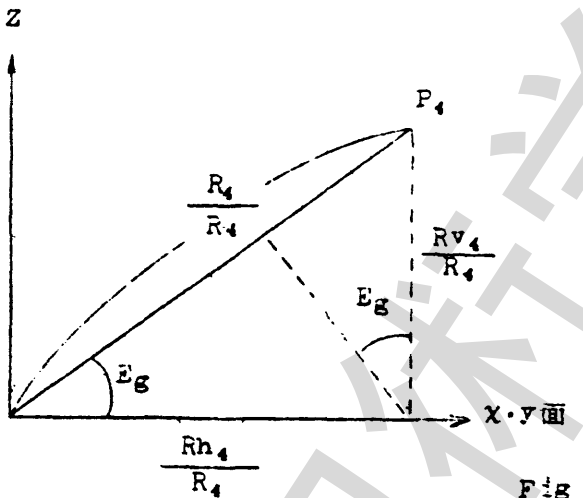


Fig 5-4

E_g の計出は $\frac{Rh_4}{R_4}$ 及び $\frac{Rv_4}{R_4}$ を入力として三角形サーボ解法を行なつ
ている。Fig 5-3 参照。

$$\frac{Rv_4}{R_4} \cos E_g - \frac{Rh_4}{R_4} \sin E_g = 0$$

(4) T_1 の計出

$T_1 = R_4 \times \frac{T_2}{R_4}$ として $\frac{T_2}{R_4}$ の出力へ R_4 を乗算して得る。

Fig 5-3 参照

一方 R_4 は R から出発してあらゆる見越量を加えた結果である。

したがつて全中させるためには弾道計算部より得られる R_4 とは R_4
に一致させなければならない。

$$R_4 - R_4 \delta = \epsilon \rightarrow 0$$

この式が T_2/R_4 記 (弾道度数軸) を決定する制御式である。

すなわち δ が常に零になるよう T_2/R_4 の値が選ばれる。

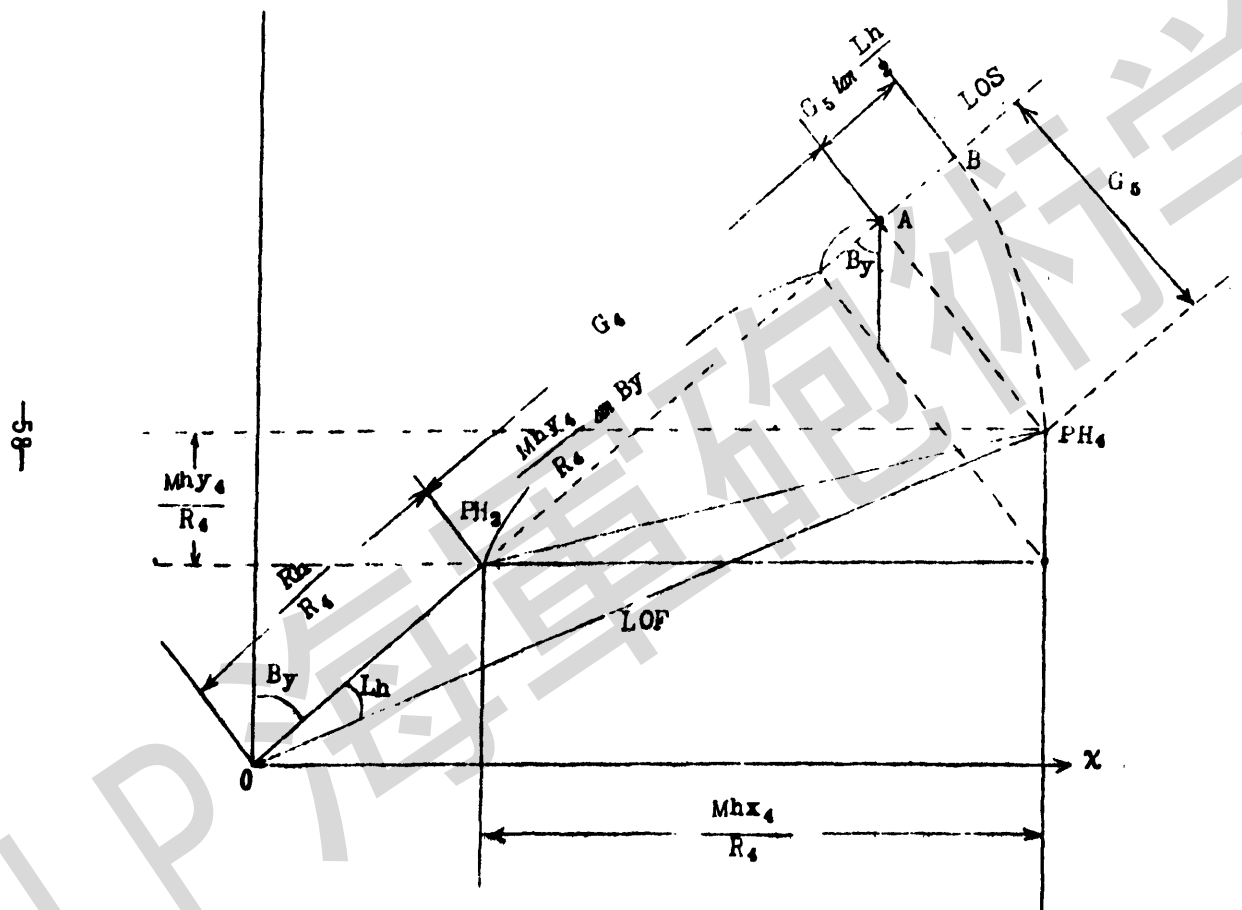
Fig. 5-5 Lh の分解図

Fig 5 - 5 において

$$G_4 = \frac{Mn x_4}{R_4} \cos By + \frac{Mn y_4}{R_4} \sin By$$

$$G_5 = \frac{Mn x_4}{R_4} \cos By - \frac{Mn y_4}{R_4} \sin By$$

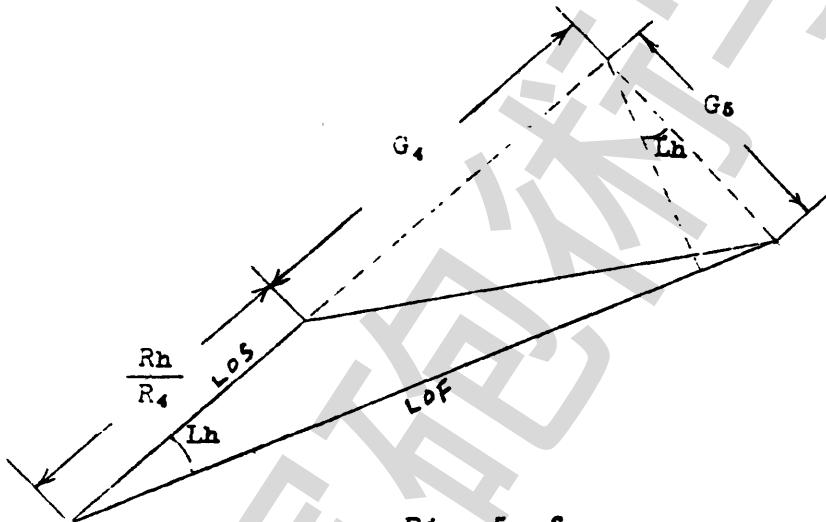


Fig 5 - 6

Fig 5 - 6 において

$$\left(\frac{Rh}{R_4} + G_4 \right) \cos Lh - G_5 \sin Lh = 0$$

この計算式を Fig 5 - 7 の計算回路で Lh 軸を駆動し、Lh を算出する。又、V の場合と同様に Fig 5 - 5 における $AB = G_5 \tan \frac{Lh}{2}$ となるので

$$G_4 - G_5 \tan \frac{Lh}{2} = \frac{Mrh_4}{R_4}$$

$$G_5 \tan \frac{Lh}{2} = G_4 - \frac{Rh_4}{R_4} = \frac{Ph_4}{R_4}$$

となる。

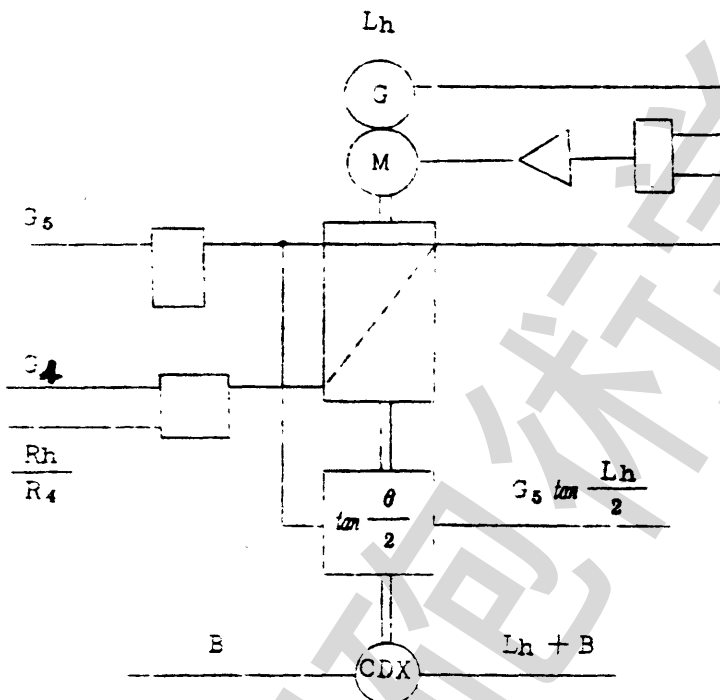


Fig. 5-7 L_h 計算回路

6 動揺修正理論

砲速三角、砲仰角は下図のシンクロ系で砲側へ伝達される。

Fig. 6-1 に示すよ^々に動揺修正は、差動シンクロによつて $\dot{\phi}$ (Bg) を生じることによつて、水平面の計出発砲角を甲板の発砲角へ動揺修正することになる。

動揺修正は、射撃盤アベニラにおいて行なわれる。

本装置における動搖はコールは右舷上りを正、ピッチは艦首さがりを正として計算される。

動揺修正は、次の順序で計算される。

ア ピッチ角のみの場合、LOFの位置変化。

イ ピッチ角をうけたLOFにロール角によるLOFの位置変化。

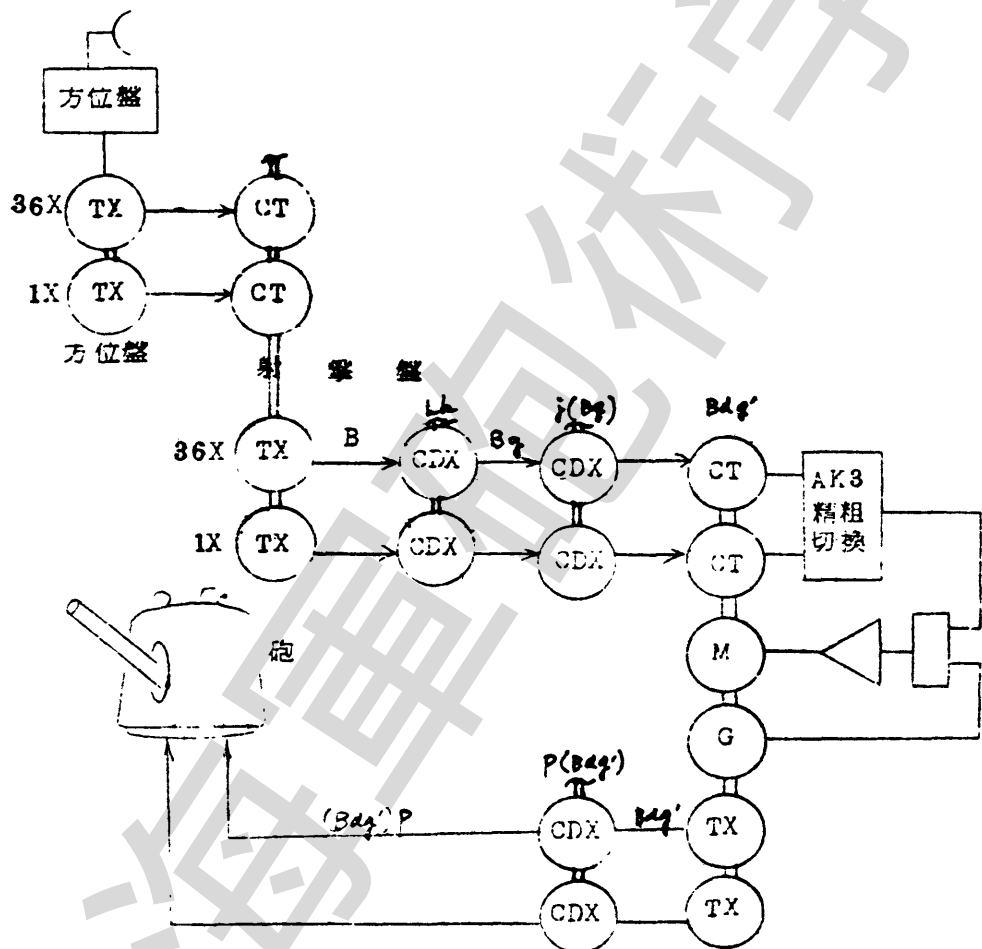


Fig. 6-1 36X のシンクロ

ウ 位置修正によって動搖修正角 $\psi(Eg)$ 及び $\phi(Eg)$ を求める。

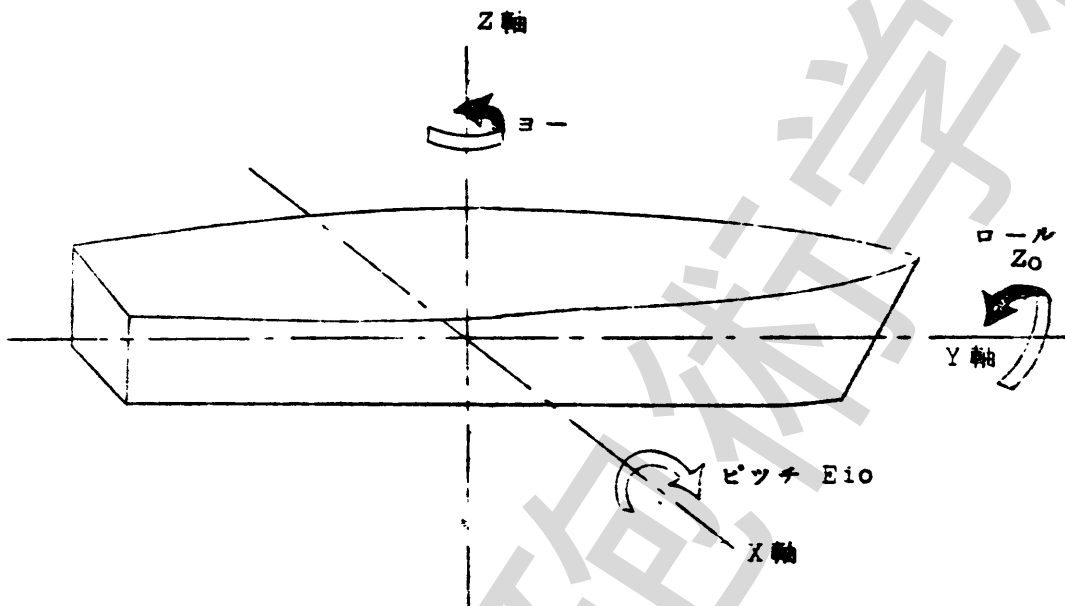


Fig 6-2 動搖系の軸

(1) 動搖修正の座標変換

艦首方向を Y 軸、艦首に対して正横方向を X 軸、鉛直方向を Z 軸とする。

水平空氣系を 0-X Y Z

ピッチのみかかつた座標系を 0-X'' Y'' Z''

ピッチ及びロールのかかつた座標系を 0-X' Y' Z'

各座標系の原点に移動量をそれぞれ

0-X Y と 0-X' Y' Z' の変化量を $\Delta X \Delta Y \Delta Z$

0-X' Y' Z' と 0-X'' Y'' Z'' の変化量を $\Delta X' \Delta Y' \Delta Z'$

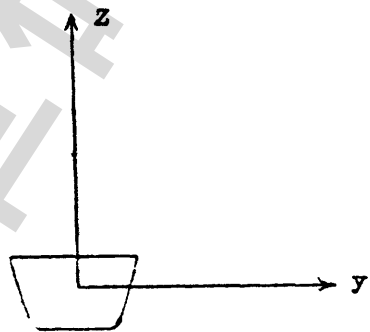
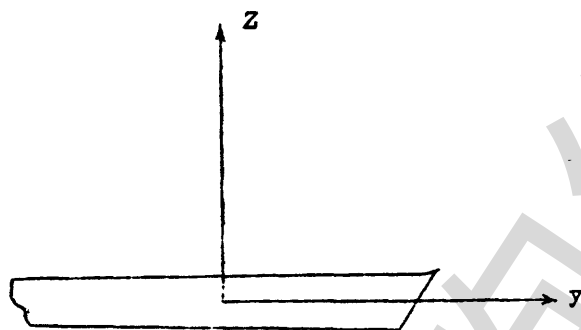
0-X'' Y'' Z'' と 0-X Y Z の変化量を $\Delta X'' \Delta Y'' \Delta Z''$

とすれば、次の関係がある。

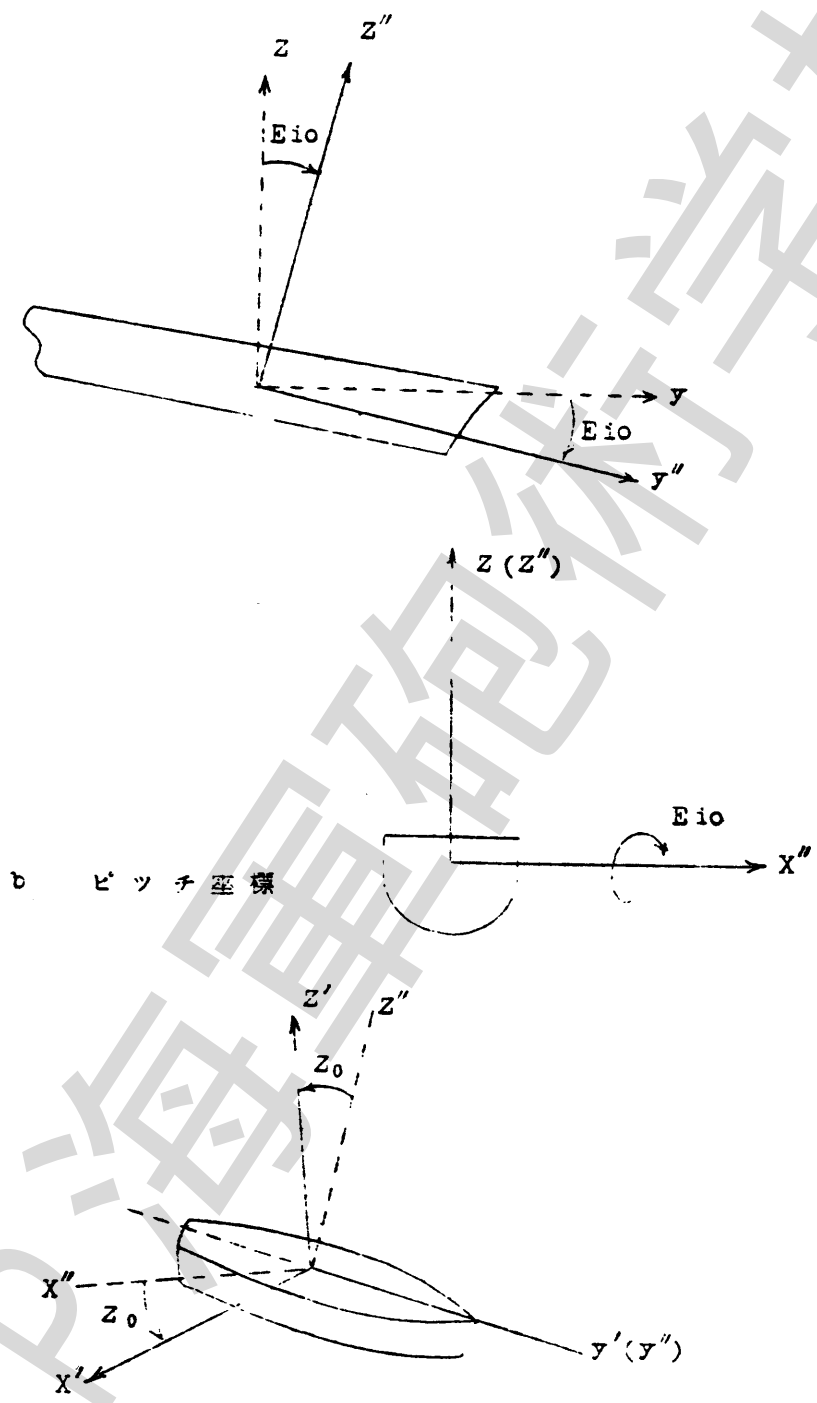
$$\Delta X = X' - X = X' - X'' + X'' - X = \Delta X' + \Delta X''$$

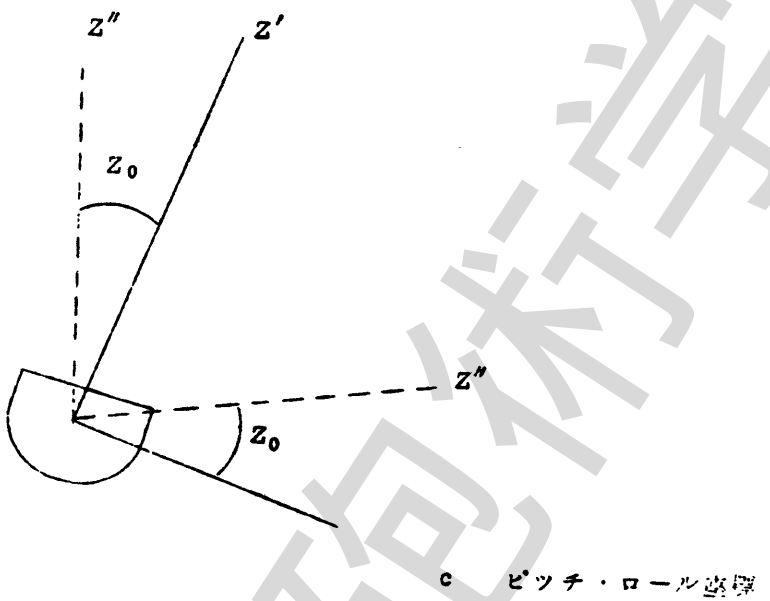
$$\Delta Y = Y' - Y = Y' - Y'' + Y'' - Y = \Delta Y' + \Delta Y''$$

$$\Delta Z = Z' - Z = Z' - Z'' + Z'' - Z = \Delta Z' + \Delta Z''$$



a 水平座標



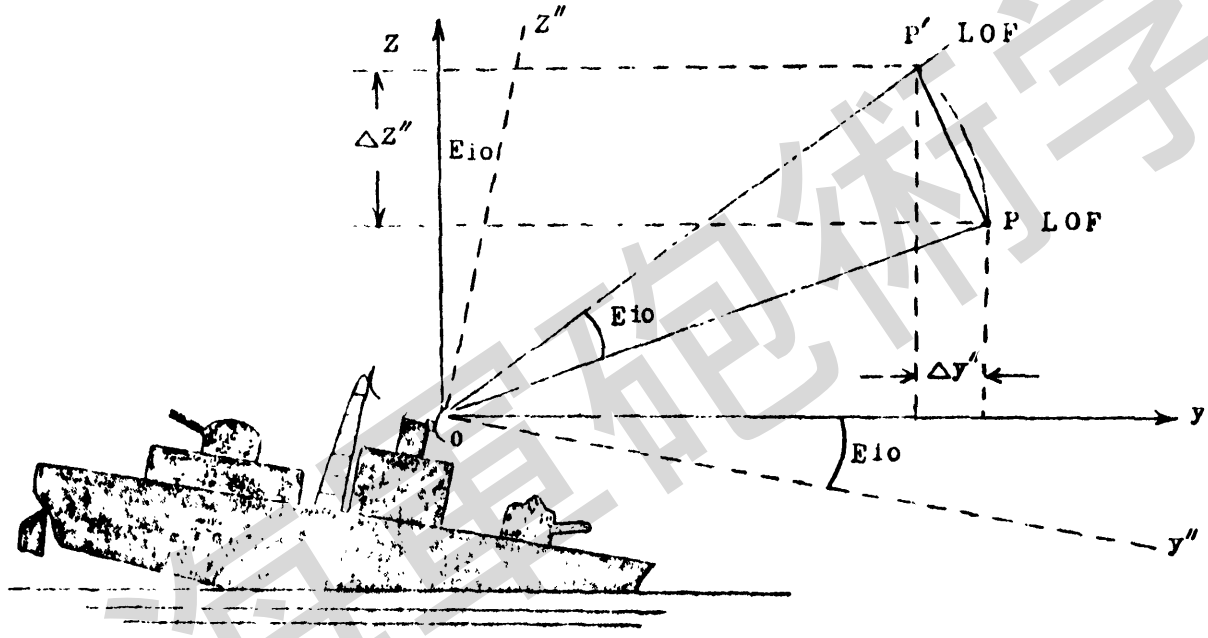


c ピッチ・ロール座標

Fig. 6-3 動搖の座標

(2) ピッチ角傾斜の計算式

-69-



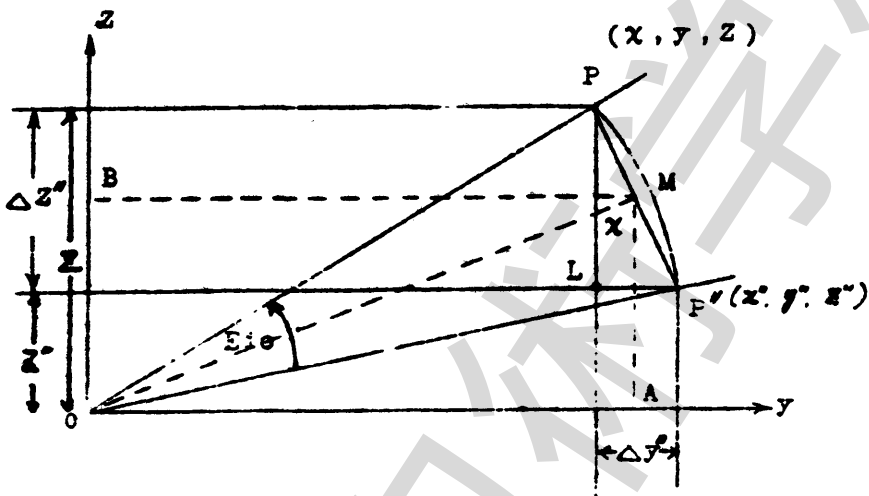


Fig. 6-4 ピッチ修正

$\triangle P''LP$ と $\triangle OMA$ において

$$\angle MAO = \angle P''LP = \angle R$$

$$\angle P''PL = \angle MOA$$

$$\therefore \triangle P''LP \sim \triangle OMA$$

従つて

$$\frac{\Delta Z''}{PP''} = \frac{OA}{OM} \quad \Delta Z'' = PP'' \times \frac{OA}{OM}$$

$$\text{しかるに } PP'' = OM \cdot 2 \tan \frac{\Sigma ie}{2}$$

$$OA = Y - \frac{\Delta Y''}{2}$$

$$\Delta Z'' = 2 \tan \frac{\Sigma ie}{2} \left(Y + \frac{1}{2} \Delta Y'' \right)$$

同様に

$$\Delta Y'' = P P'' \times \frac{OB}{OM}$$

$$PP'' = OM \times 2 \tan \frac{EIC}{2}$$

$$OB = Z - \frac{\Delta Z''}{2}$$

$$\Delta Y'' = - 2 \tan \frac{EIC}{2} \left(Z - \frac{\Delta Z''}{2} \right)$$

まとめれば次の関係式が成り立つ。

$$\begin{cases} \Delta X'' = 0 \\ \Delta Y'' = - 2 \tan \frac{EIC}{2} \left(Z - \frac{1}{2} \Delta Z'' \right) \\ \Delta Z'' = 2 \tan \frac{EIC}{2} \left(Y + \frac{1}{2} \Delta Y'' \right) \end{cases}$$

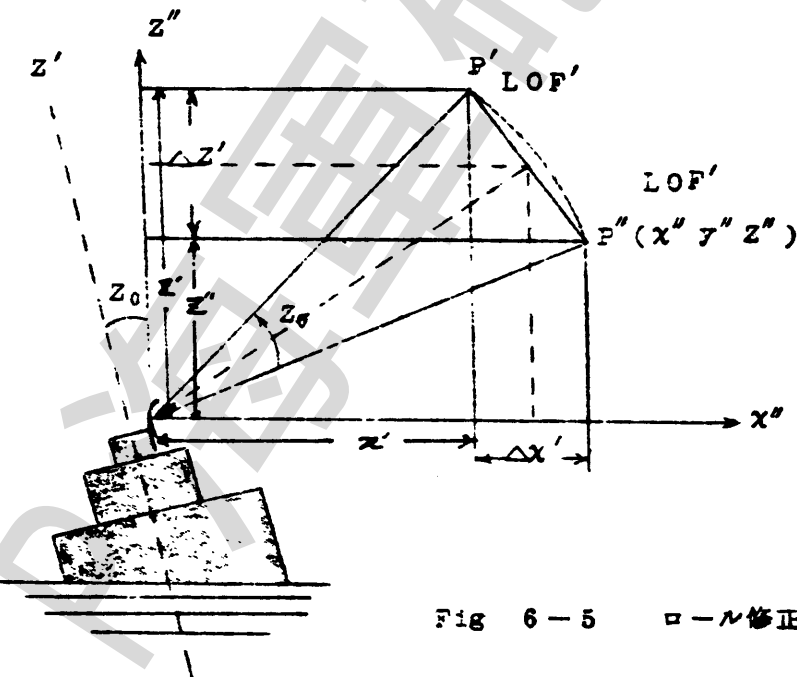


Fig. 6-5 ロール修正

(2)の場合と同様に

$$\Delta X' = -2 \frac{Z_0}{2} \left(Z'' + \frac{\Delta Z'}{2} \right)$$

$$\Delta Y' = 0$$

$$\Delta Z' = 2 \frac{Z_0}{2} \left(X'' - \frac{\Delta X'}{2} \right)$$

しかるに

$$X'' = X + \Delta X'' = X$$

$$Y'' = Y + \Delta Y''$$

$$Z'' = Z + \Delta Z''$$

であるから

$$\Delta X' = -2 \frac{Z_0}{2} \left\{ (Z + \Delta Z'') + \frac{\Delta Z'}{2} \right\}$$

$$\Delta Y' = 0$$

$$\Delta Z' = 2 \frac{Z_0}{2} \left(X + \frac{\Delta X'}{2} \right)$$

となる。

故に

$$\Delta X = \Delta X'' + \Delta X' = -2 \left\{ (Z + \Delta Z'') + \frac{1}{2} \Delta Z' \right\} \frac{Z_0}{2}$$

$$\Delta Y = \Delta Y'' + \Delta Y' = -2 \left(Z - \frac{1}{2} \Delta Z'' \right) \frac{EiC}{2}$$

$$\begin{aligned} \Delta Z &= \Delta Z'' + \Delta Z' = 2 \left(Y + \frac{1}{2} \Delta Y'' \right) \frac{EiC}{2} \\ &\quad + 2 \left(X + \frac{1}{2} \Delta X' \right) \frac{Z_0}{2} \end{aligned}$$

の計算式が得られる。しかるに本装置では、

$$X = \frac{R_h x_4}{R_4} \quad Y = \frac{R_h y_4}{R_4} \quad Z = \frac{R_h v_4}{R_4}$$

及び

$$\frac{\Delta X}{R_4} = \frac{M_i g x}{R_4} \quad \frac{\Delta Y}{R_4} = \frac{M_i g y}{R_4} \quad \frac{\Delta Z}{R_4} = \frac{M_i g z}{R_4}$$

で計算されるから、前章壁ドロフの計算は次式で示される。

ピッチ計算 サーボにおいて

$$\frac{\Delta X''}{2R_4} = 0$$

$$\frac{\Delta Y''}{2R_4} = - \left(\frac{Rv_4}{R_4} - \frac{\Delta Z''}{2R_4} \right) \frac{EIC}{2}$$

$$\frac{\Delta Z''}{2R_4} = \left(\frac{Rh y_4}{R_4} + \frac{\Delta Y''}{2R_4} \right) \frac{EIC}{2}$$

ピッチ・ロール計算 サーボにおいて、

$$\frac{\Delta X'}{2R_4} = - \left(\left(\frac{Rv_4}{R_4} - \frac{\Delta Z''}{R_4} \right) + \frac{\Delta Z'}{2R_4} \right) \frac{Z_0}{2}$$

$$\frac{\Delta Y'}{2R_4} = 0$$

$$\frac{\Delta Z'}{2R_4} = \left(\frac{Rh x_4}{R_4} + \frac{\Delta X'}{2R_4} \right) \frac{Z_0}{2}$$

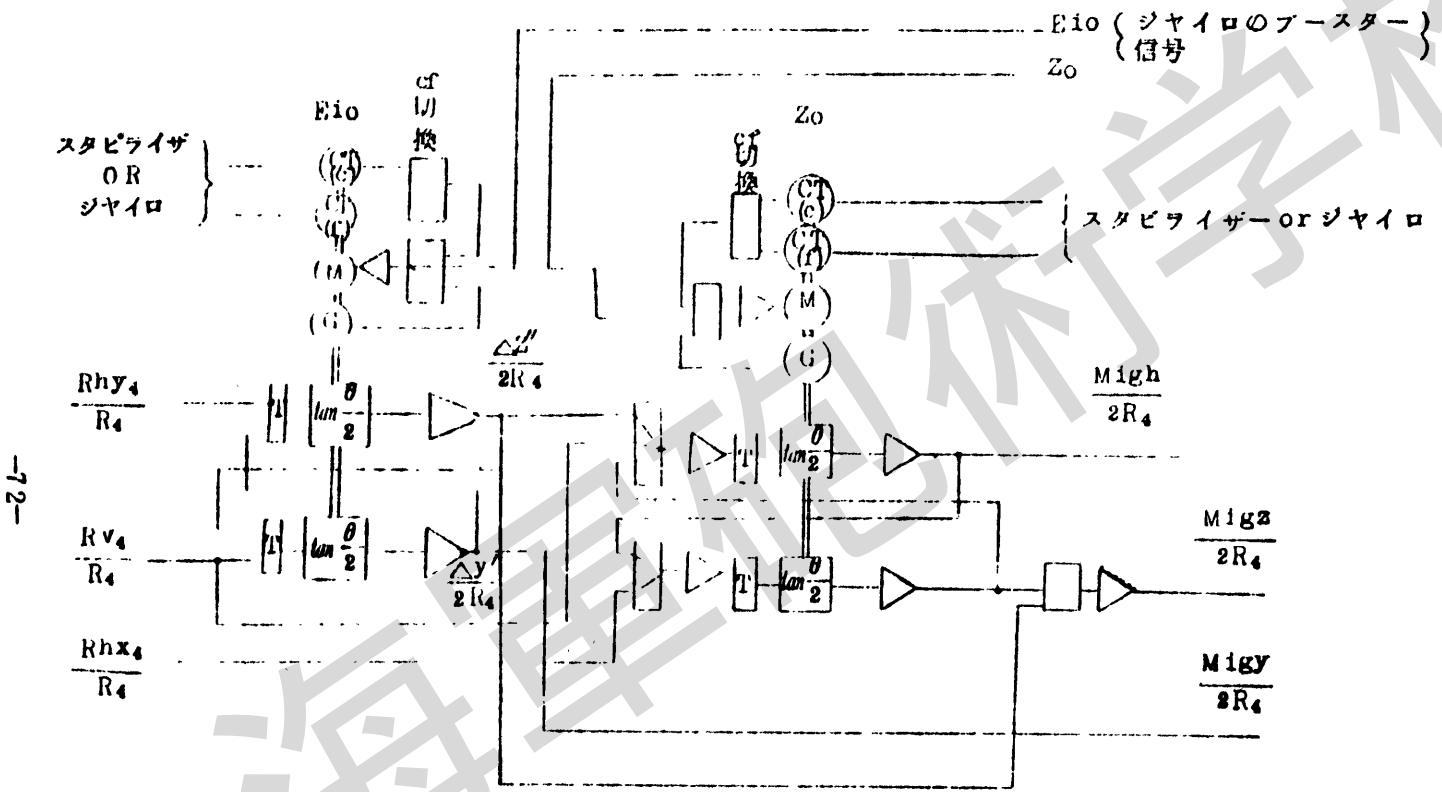
総合的に動搖による LOF の座標の変化量は

$$\frac{M_{12}g_x}{R_4} = \frac{\Delta X'}{R_4}$$

$$\frac{M_{13}g_y}{R_4} = \frac{\Delta Y''}{R_4}$$

$$\frac{M_{14}g_z}{R_4} = \frac{\Delta Z''}{R_4} + \frac{\Delta Z'''}{R_4}$$

で示される。Fig 6-6 参照



(4) 動搖による旋回角修正

旋回角修正 $j(Bg)$ は、LOF の動搖による変化量 $\frac{M_{12X}}{R_4}$ 及び $\frac{M_{12Y}}{R_4}$ を入力として LOF のベクトル成分として旋回角の修正を行なう。

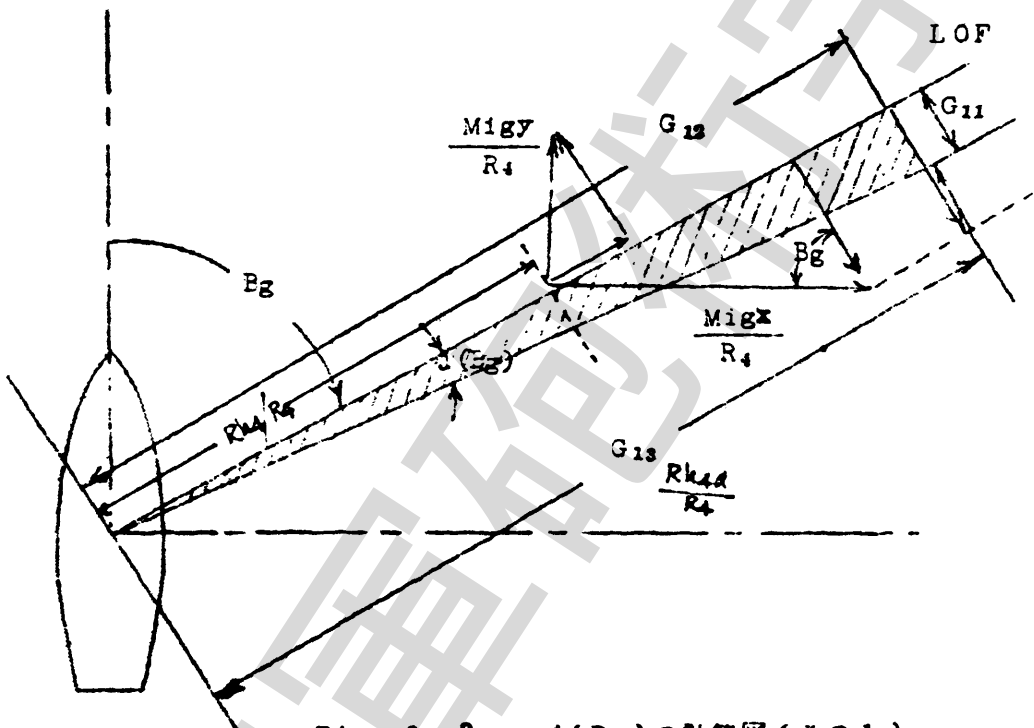


Fig 6-8 $j(Bg)$ の計算図(その1)

$\frac{M_{12X}}{R_4}$ を LOF の成分と直角成分に分解すれば

$$+ \frac{M_{12X}}{R_4} \sin Bg \dots \dots \dots \text{LOF 成分}$$

$$- \frac{M_{12X}}{R_4} \cos Bg \dots \dots \dots \text{LOF の直角成分}$$

$\frac{M_{12}gy}{R_4}$ を LOF の成分と直角成分に分解すれば

$$-\frac{M_{12}gy}{R_4} \cos \beta g \dots \dots \text{LOF 成分}$$

$$-\frac{M_{12}gy}{R_4} \sin \beta g \dots \dots \text{LOF の直角成分}$$

したがつて、これらの成分を加算すれば次式となる。

$$G_{11} = \frac{M_{12}gx}{R_4} \cos \beta g - \frac{M_{12}gy}{R_4} \sin \beta g$$

$$G_{12} = \frac{Rh_4}{R_4} - \frac{M_{12}gy}{R_4} \cos \beta g + \frac{M_{12}gx}{R_4} \sin \beta g$$

但し、 $Bg = B + Lh$

G_{11} 及び G_{12} によってできる三角形において

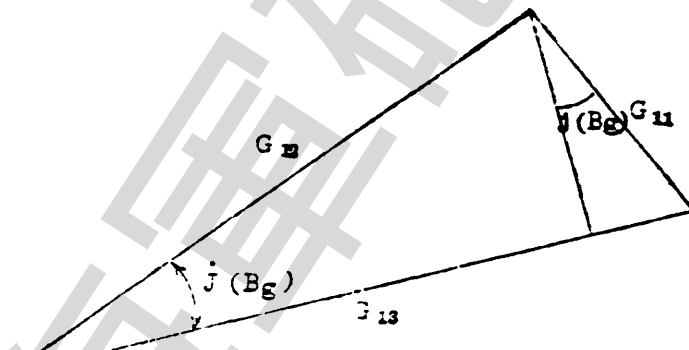


Fig. 6-8 $j(Bg)$ の計算図(その2)

$$G_{12} \sin j(Bg) - G_{11} \cos j(Bg) = 0$$

$$G_{12} \cos j(Bg) - G_{11} \sin j(Bg) = G_{11}$$

にてよつて $j(Bg)$ ケーブ距離を算出し、 $j(Bg)$ の角を得る。

$j(Eg)$ は、 $j(Bg)$ と同様に、砲仰角についての動搖修正である。

即ち、 $\frac{M_{ig}^z g_x}{R_4}$ 及び G_{15} を入力として $j(Eg)$ が計算される。

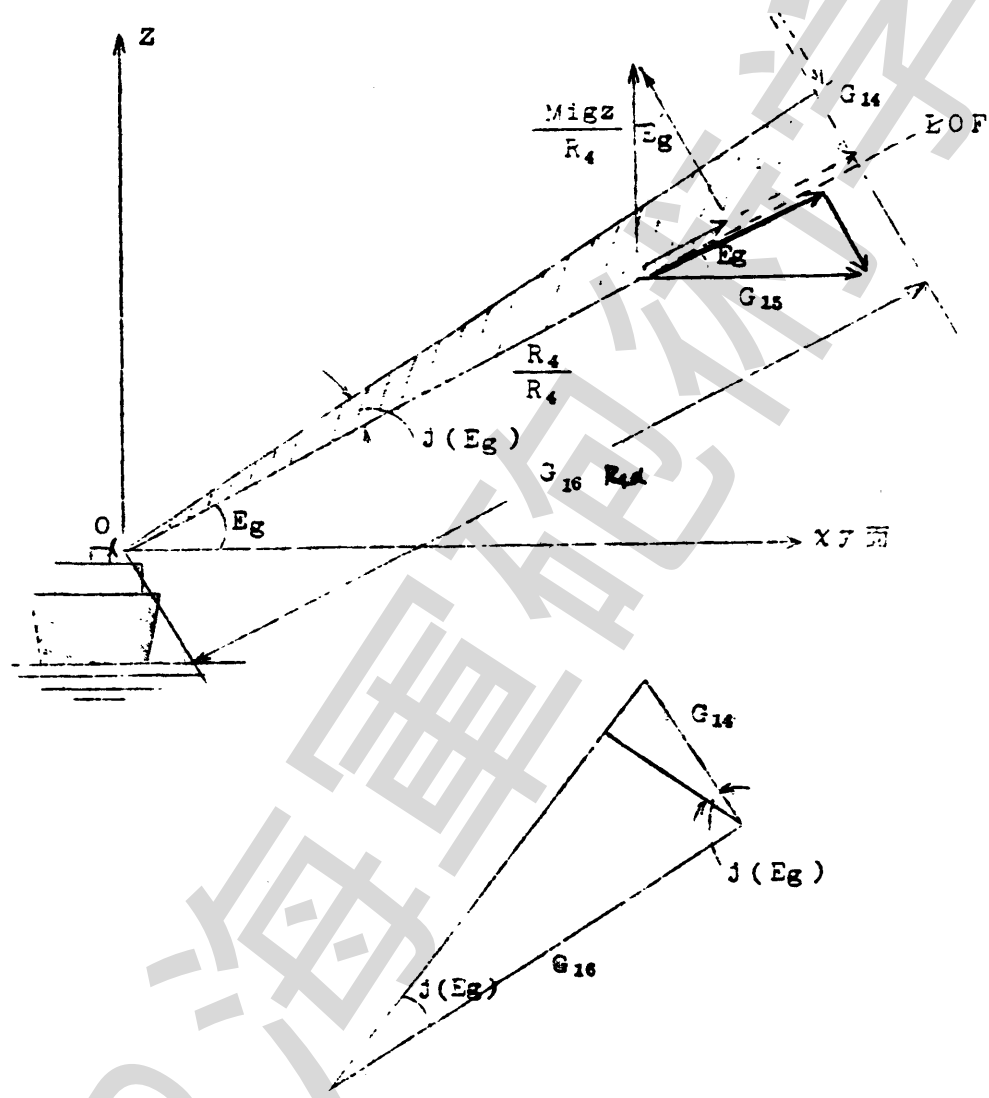


Fig 6-9 $j(Eg)$ の計算図

X Y 面の動揺の式子は、

$$G_{13} = G_{13} - \frac{R_4}{R_4} \alpha E_g$$

で計算される。

G_{13} を LOF 及びその直角成分へベクトル分解すれば

$$+ G_{13} \alpha E_g \dots \dots \dots \text{LOF 成分}$$

$$- G_{13} \alpha E_g \dots \dots \dots \text{LOF 直角成分}$$

$\frac{M_1 \alpha x}{R_4}$ を LOF 及びその直角成分へベクトル分解すれば

$$+ \frac{M_1 g_z}{R_4} \alpha E_g \dots \dots \dots \text{LOF 成分}$$

$$+ \frac{M_1 g_z}{R_4} \alpha E_g \dots \dots \dots \text{LOF 直角成分}$$

従つて、Fig 6-9 から図解されるように

$$G_{14} = \frac{R_4}{R_4} + G_{13} \alpha E_g + \frac{M_1 g_z}{R_4} \alpha E_g$$

$$G_{14} = \frac{M_1 g_z}{R_4} \alpha E_g - G_{13} \alpha E_g$$

$$E_g = E - V$$

を得る。

従つて、この計算回路は Fig 6-9 の三角形から

$$G_{13} \alpha \zeta(E_g) - G_{14} \alpha \zeta(E_g) = 0$$

上式によつて、サーボ輪 $\zeta(E_g)$ が得られる。

これらの計算連立サーボ連立方程式の解法の回路は Fig 6-10 に示す。

HP 海軍博物館

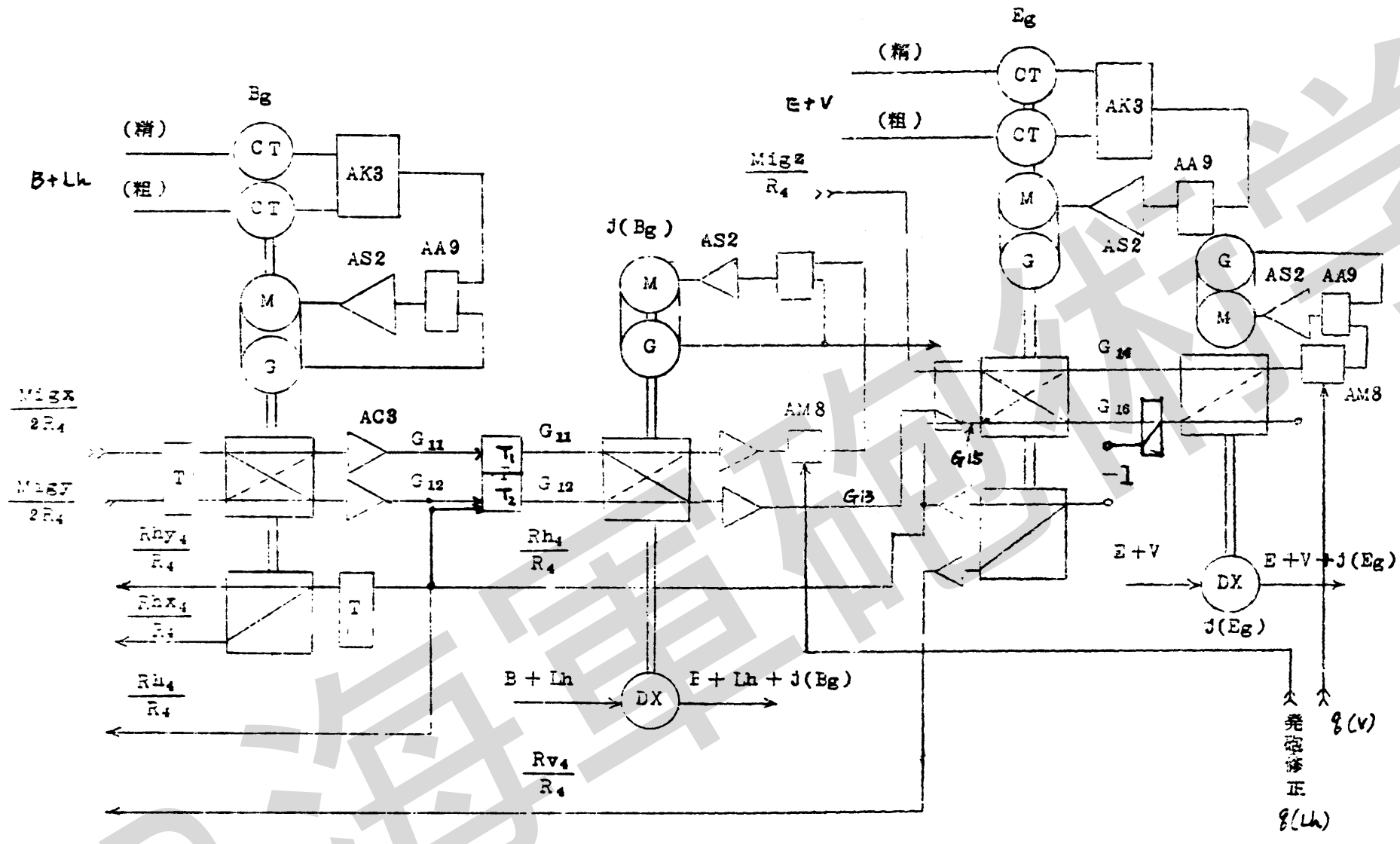


Fig. 6-10 動係計算直角

(5) TDCの動搖修正

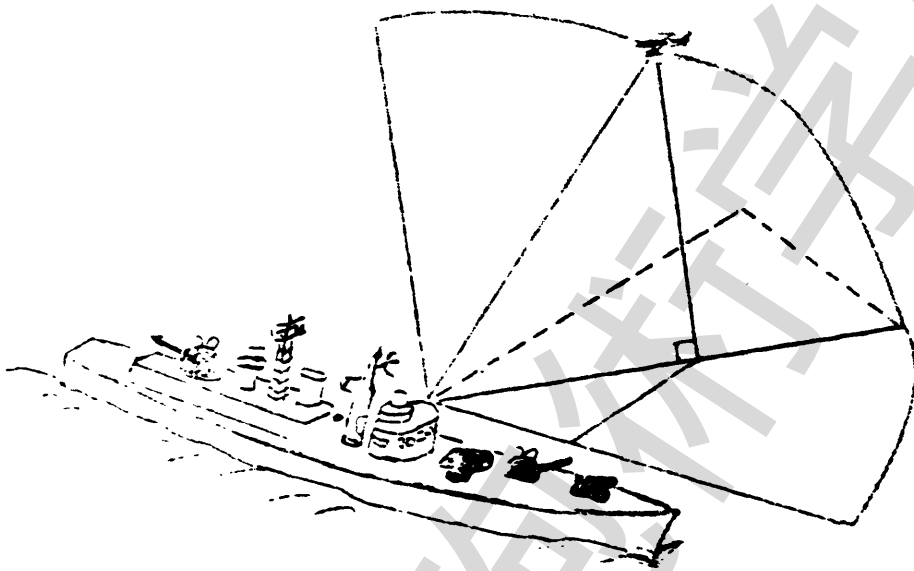


図6-11 TDCにおける測的

ここでは、艦橋上空見張所に多つて甲板面上で目標位置を測的する。方位盤は、スピリタライズされて、この目標の位置と一致させるため射撃盤（ドミ）で動搖修正される。動搖修正するためには、艦首基準の直角座標へ座標変換しなければならない。

動搖を正した諸データは、方位盤を指向するため、方位、仰角、距離の直座標に更に座標変換をしてなければならない。従つて、三つの段階の計算過程が行なわれる。

- 1 甲板面の目標位置を直座標から直角座標への変換（アリコ管
制箱）
- 2 甲板面の直角座位置を動搖修正し、水平面の直角座標へ変換
(アドニフ)

3 水平面の直角座標を極座標へ変換し、 Σ 、 Ξ を計算 (TDT
等割箱)

ア 第1段階(極座標から直角座標へ)

Fig 6-11において

$$X' = R \cos Ed' \sin Bd'$$

$$Y' = R \cos Ed' \cos Bd'$$

$$Z' = R \sin Ed'$$

両辺を R で割れば

$$\ell' = \frac{X'}{R} = \cos Ed' \sin Bd' \quad X \text{成分の方向余弦(甲板面上)}$$

$$m' = \frac{Y'}{R} = \cos Ed' \cos Bd' \quad Y \text{成分の方向余弦() }$$

$$n' = \frac{Z'}{R} = \sin Ed' \quad Z \text{成分の方向余弦() }$$

イ 第2段階(動搖修正)

TDT 位置原点として、次の座標系を定義する。

0-X'Y'Z' 駆首基準水平座標系

0-X''Y''Z'' ピッチとロールの傾斜した座標系

0-X'''Y'''Z''' ピッチのみ傾斜した座標系

Fig 6-12 に示すとおりピッチとロールで傾斜した目標位置からロールのみ修正すると 0-X'''Y'''Z''' と 0-X'Y'Z' の間に次の関係がある。

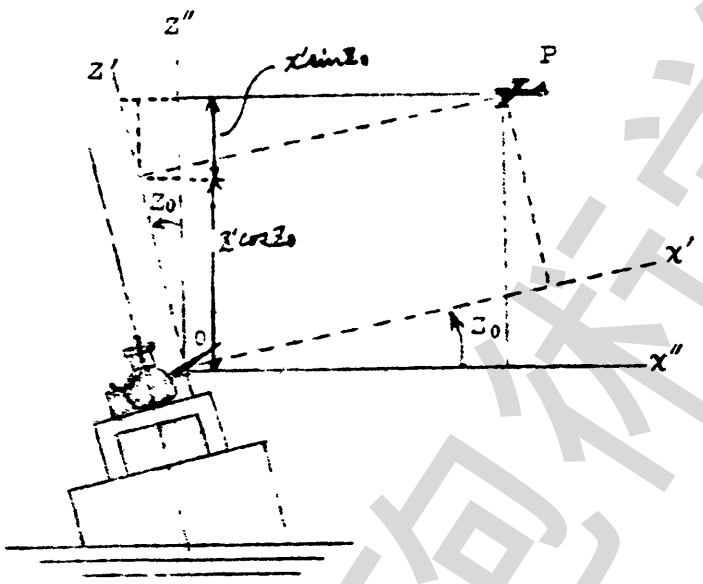


Fig. 6 - 12 ロール修正

$$x'' = x' \cos \theta - z' \sin \theta$$

$$z'' = z'$$

$$x'' = x' \cos \theta + z' \sin \theta$$

次にピノチを修正すれば、Fig. 6 - 13 から

$0 - x'y'z'$ と $0 - x''y''z''$ との間に次の関係がある。

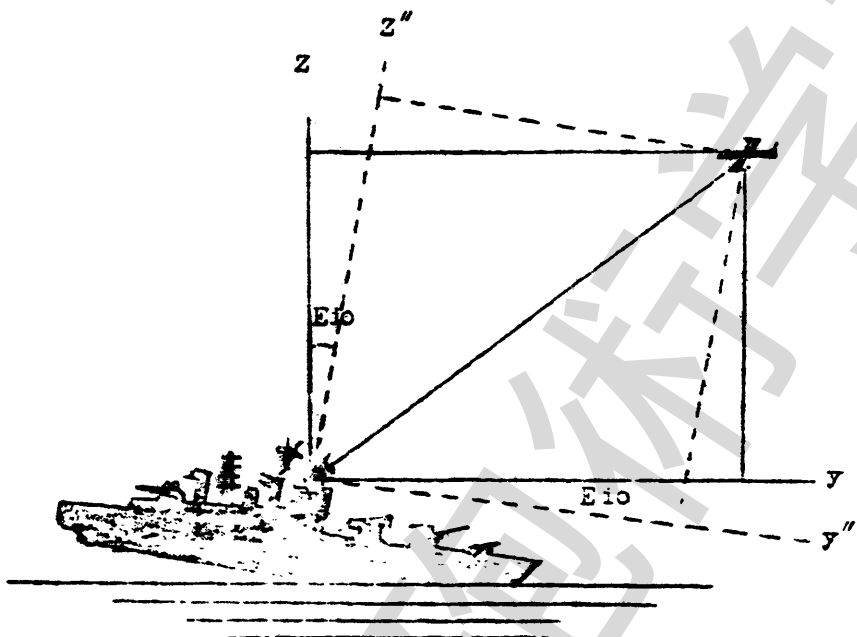


Fig 6-18 ピッチ修正

$$X = X''$$

$$Y = Y'' \cos E10 + Z'' \sin E10$$

$$Z = -Y'' \sin E10 + Z'' \cos E10$$

従つて、 $0 - X Y Z$ と $0 - X' Y' Z'$ との間に次の式が成り立つ。

$$X = X' \cos Z_0 - Z' \sin Z_0$$

$$Y = Y' \cos E10 + (X' \cos Z_0 + Z' \sin Z_0) \sin E10$$

$$Z = -Y' \sin E10 + (X' \cos Z_0 + Z' \sin Z_0) \cos E10$$

両辺を足し算り、水平面基準の方向余弦にすれば

$$\ell = \frac{X'}{\Xi} \cos Z_0 - \frac{Z'}{\Xi} \sin Z_0 = \ell' \cos Z_0 - n' \sin Z_0$$

$$\begin{aligned}
 m &= \frac{Y'}{R} \cos Ei\phi + \left(\frac{X'}{R} \sin Z_0 + \frac{Z'}{R} \cos Z_0 \right) \sin Ei\phi \\
 &= m' \cos Ei\phi + (\ell' \sin Z_0 + n' \cos Z_0) \sin Ei\phi \\
 n' &= \frac{Y'}{R} \sin Ei\phi - \left(\frac{X'}{R} \sin Z_0 + \frac{Z'}{R} \cos Z_0 \right) \cos Ei\phi = -m' \sin Ei\phi \\
 &\quad + (\ell' \sin Z_0 + n' \cos Z_0) \cos Ei\phi
 \end{aligned}$$

ウ 第3段階（水平直角座標から極座標への変換）

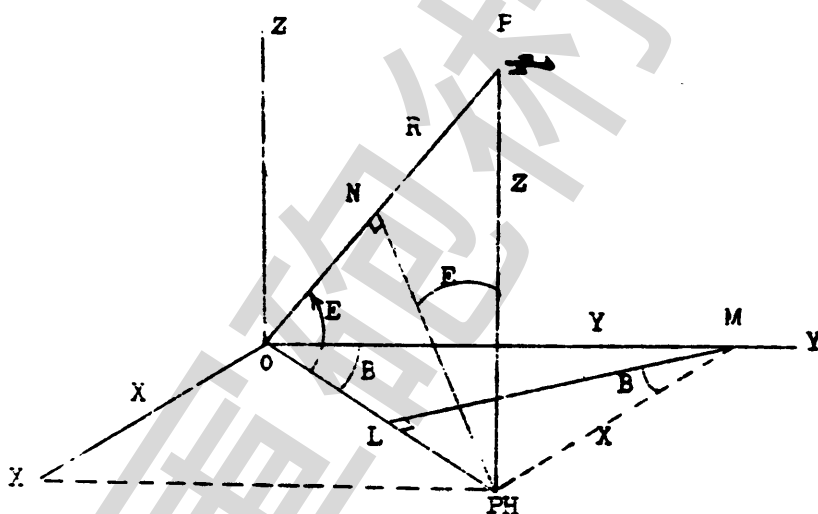


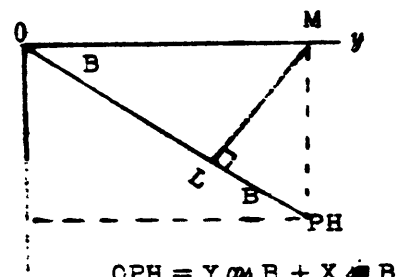
Fig 6-14

Fig 6-14 の $\triangle OMPH$ から

$$X \cos B - Y \sin B = 0$$

方向余弦では

$$\ell \cos B - m \sin B = 0$$



$$OPH = Y \cos B + X \sin B$$

x

同様に $\triangle OPFH$ から

$$(X \cos B + Y \sin B) \cos E - Z \sin E = 0$$

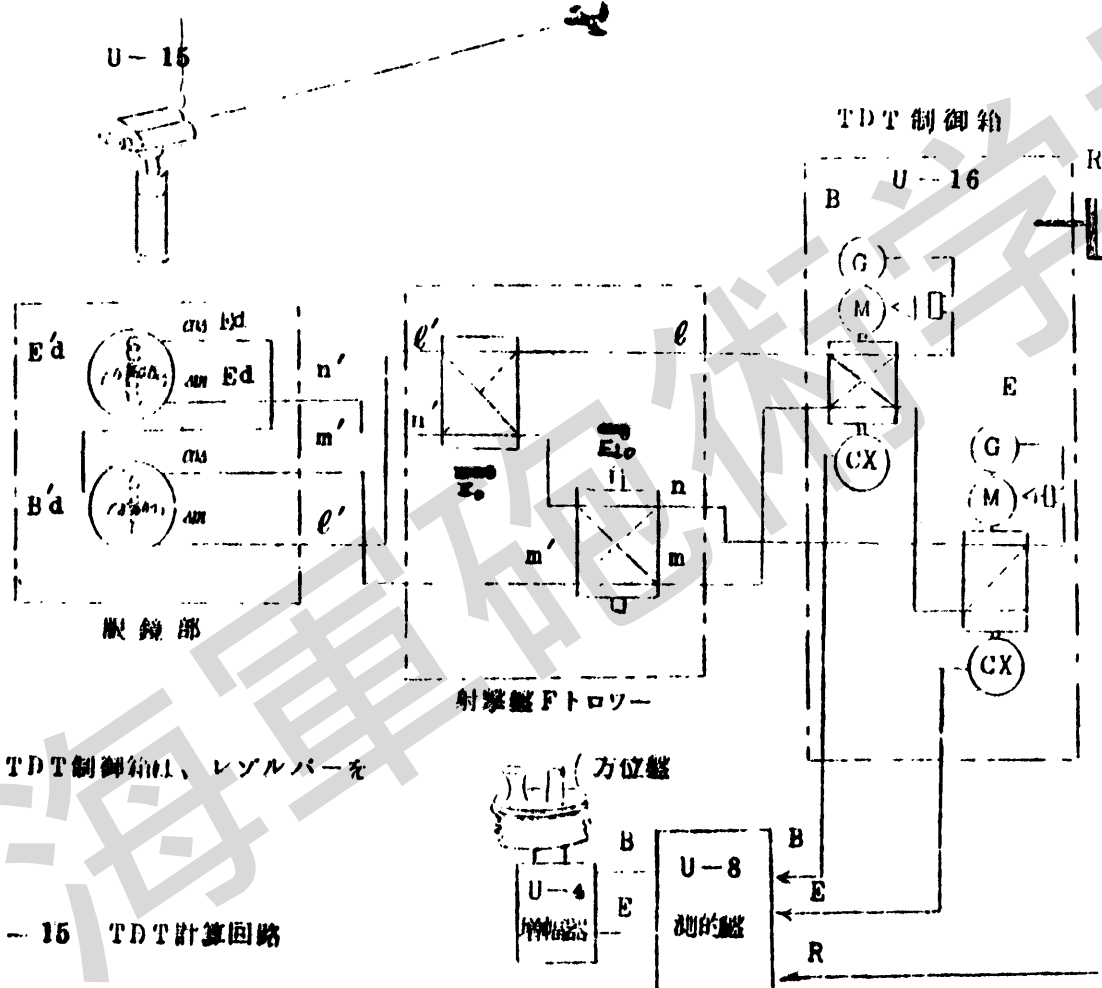
方向余弦で示せば

$$(l \cos B + m \sin B) \cos E - n \sin E = 0$$

上の 2 式から連立サポート解法によつて B 、 E が計算される。

以上の計算サポート回路は、Fig 6-15 に示す。

9-



7 集中角修正

(1) 間隔差左右修正 ($P(Bdg')h$)

艦において、測的を行なう方位盤と砲とが同一点なく占位差のため生ずるLOFの不一致を修正する。

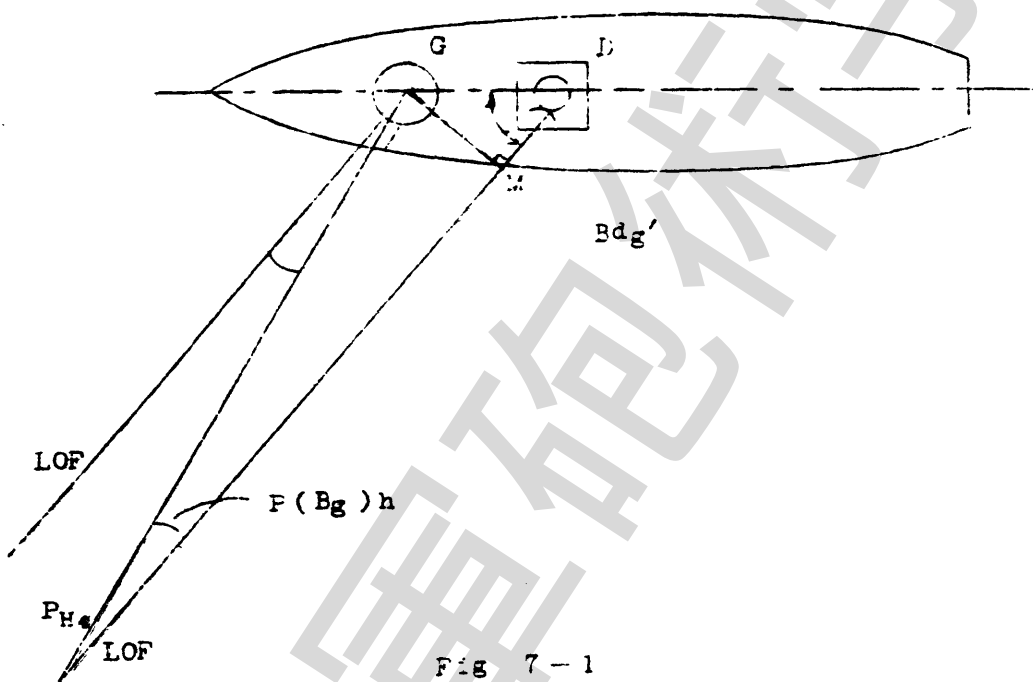


Fig. 7-1

Fig. 7-1 から

$$\begin{aligned}
 t P(Bdg')h &= \frac{GM}{P_{H_4} M} = \frac{GM}{P_{H_4} E - DM} \\
 &= \frac{P_d \sin Bdg'}{Rk_4 - P_d \sin Bdg'} \\
 &\doteq \frac{P_d \sin Bdg'}{Rk_4}
 \end{aligned}$$

但し、 $GE = P_d$ 占位差

(2) 上下集中角修正

上下集中角修正は、方位盤と砲との鉛直距離差による俯仰角の修正と水平距離差のため生ずる俯仰角の修正の二者の和をもつて上下集中角修正とする。

即ち、前者を高低差上下修正 $P(\text{Edg}')\text{v}$ 、後者を間隔差上下修正 $P(\text{Edg}')\text{h}$ とよぶ。

即ち、 $P(\text{Edg}') = P(\text{Edg}')\text{h} + P(\text{Edg}')\text{v}$ で計算される。

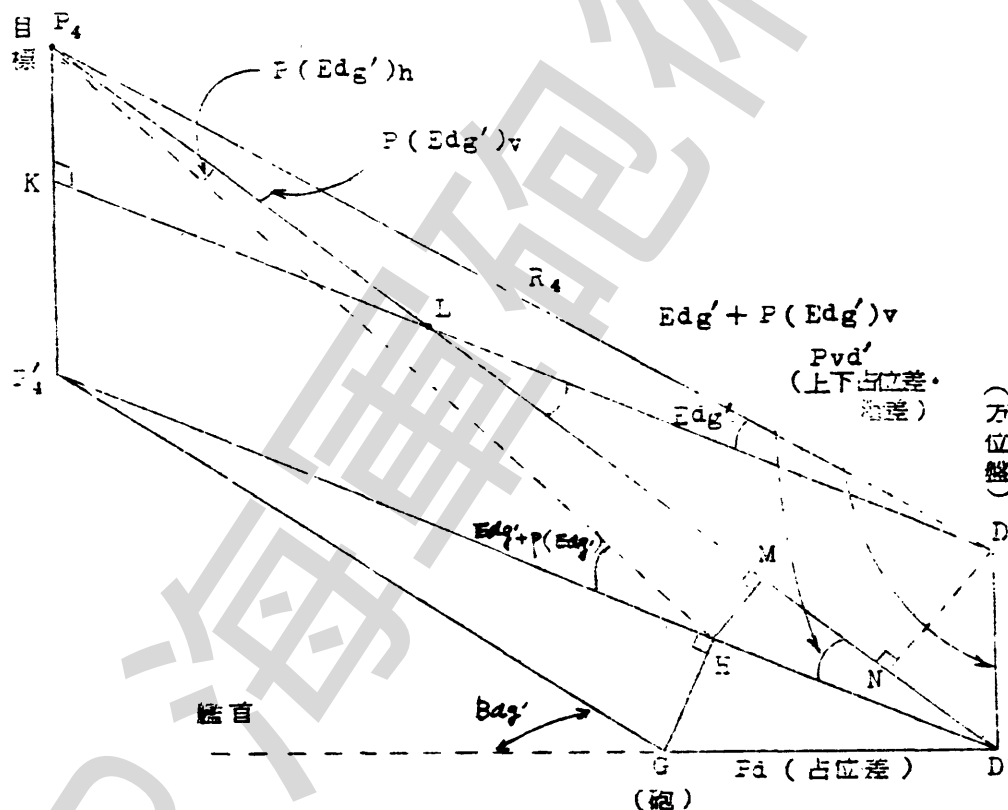


Fig 7-2 上下集中角修正

Fig 7 - 2 から

$$\angle P'_4 D' G = \text{Bdg}'$$

$$\angle D P_4 L + \angle P_4 D L = \angle DLD' = \angle MD'P'_4$$

$$\therefore \angle MD'P'_4 = \text{Edg}' + P(\text{Edg}')v$$

又 $P_4 D \neq P_4 D' = R_4$ と考へると

$$P(\text{Edg}')h = \frac{HM}{P_4 M} = \frac{\text{Pd} \cos \text{Bdg}' + \{ \text{Edg}' + P(\text{Edg}')v \}}{R_4 - \text{Pd} \cos \text{Bdg}' + \{ \text{Edg}' + P(\text{Edg}')v \}}$$

$$P(\text{Edg}')h = \frac{\text{Pd} \cos \text{Bdg}' + \text{Edg}'}{R_4}$$

Fig 7 - 2 において $\angle NDD' = \angle DLD' = P(\text{Edg}')v + \text{Edg}'$

(注) $\triangle DLD'$ と $\triangle DND'$ は直角三角形で $\angle LDD'$ は直角

$$P(\text{Edg}')v = \frac{DN}{P_4 D} = \frac{\text{Pvd}' \cos \{ \text{Edg}' + P(\text{Edg}')v \}}{R_4}$$

$$P(\text{Edg}')v = \frac{\text{Pvd}' \cos \text{Edg}'}{R_4}$$

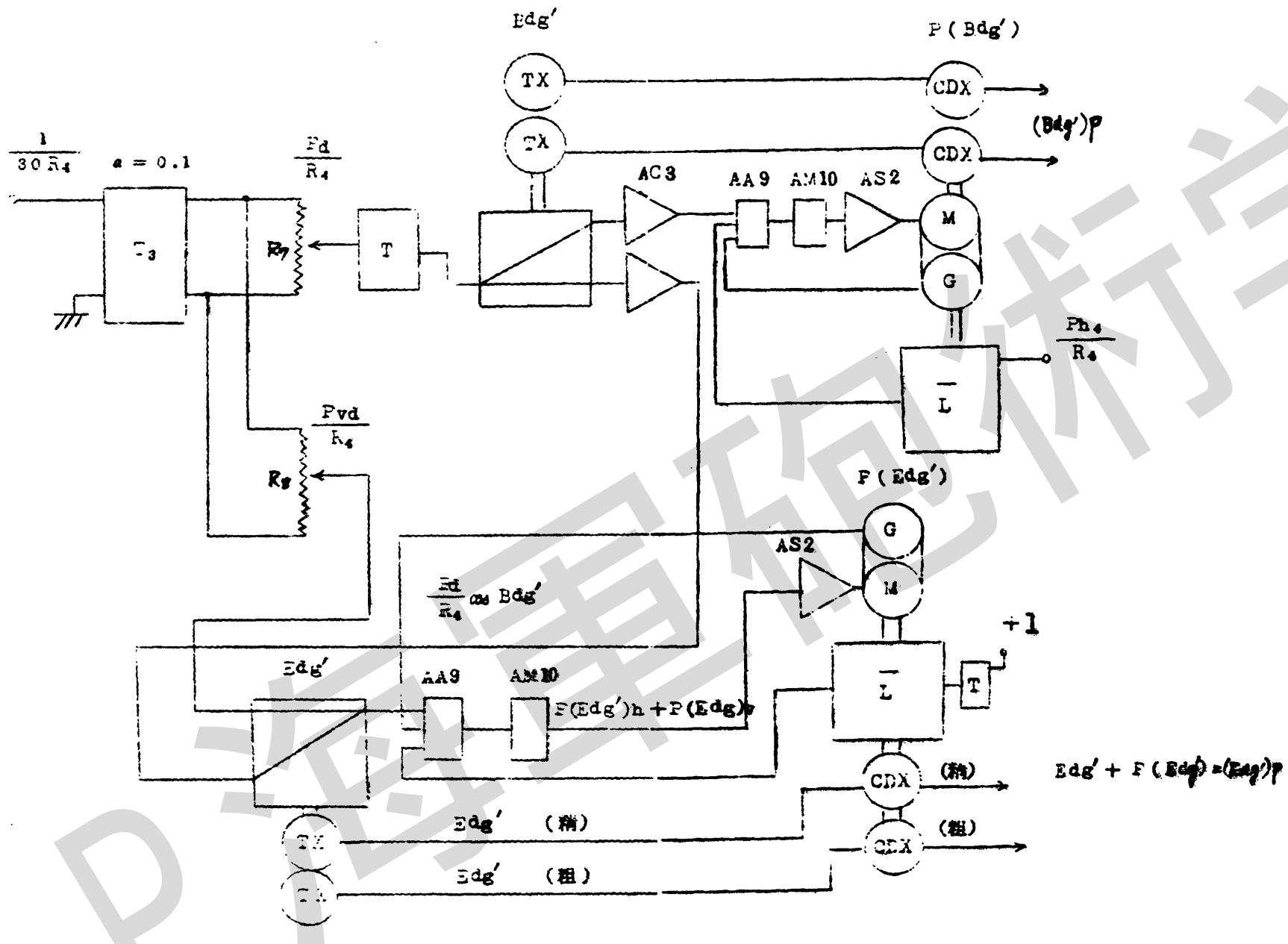


Fig. 7-3 集中角計算サーボ

8 信管計出

信管は、射撃盤コドロフにおいて計算される。

T_s 軸によつて計算される。即ち、信音調定機構に調定された時から発砲までの費消時間を考えしなければならない。

信管秒時 T_s は、飛行秒時の関数である。

$$T_s = f(T_g)$$

表てん費消時を考えれば

$$\begin{aligned} T_b &= \varepsilon (T_s + T_g) \\ &= \varepsilon (T_s) + f'(T_s) \cdot \varepsilon + \frac{1}{2!} f''(T_s) T_g^2 \\ &\quad - \frac{1}{3!} f'''(T_s) T_g^3 + \frac{1}{4!} f''''(T_s) T_g^4 \\ &= T_s + \frac{\partial T_s}{\partial \varepsilon} T_g + \frac{1}{2!} \frac{\partial^2 T_s}{\partial \varepsilon^2} T_g^2 + \frac{1}{3!} \frac{\partial^3 T_s}{\partial \varepsilon^3} T_g^3 + \dots \\ &\doteq T_s + \frac{\partial T_s}{\partial \varepsilon} T_g \end{aligned}$$

修正量 $j(T_s)$ の修正を加え

$$\begin{aligned} T_b &= T_s + \frac{\partial T_s}{\partial \varepsilon} T_g \pm j(T_s) \\ &= T_s + \frac{\partial T_s}{\partial \varepsilon} \cdot T_g \pm j(T_b) \end{aligned}$$

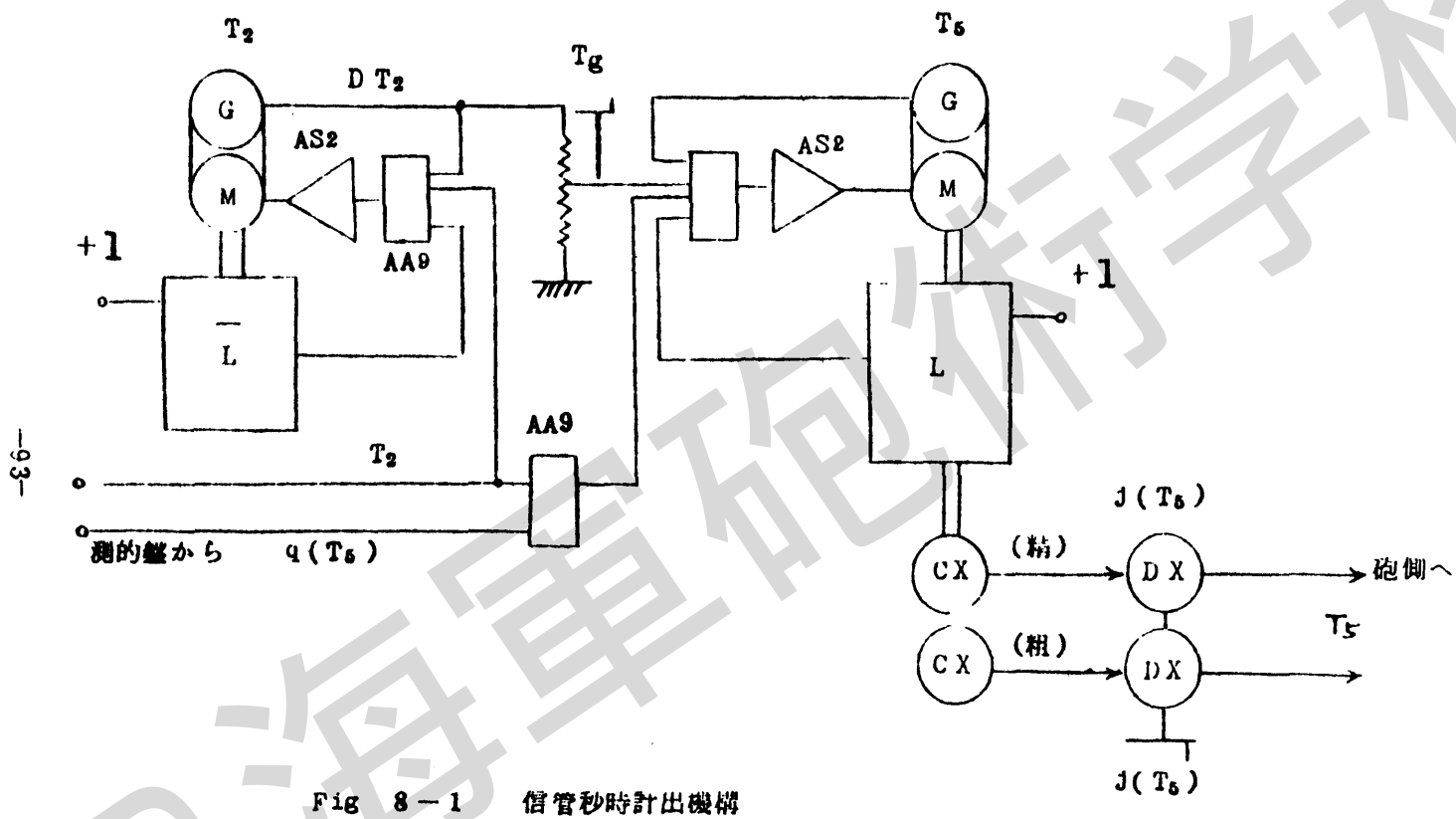


Fig. 8-1 信管秒時計出機構

9 目標自動表示盤

目標自動表示盤へは、測的盤から次の計算値が送られる。

$$\left. \begin{array}{l} Rhx = R \cos E \sin By \\ Rhy = R \cos E \cos By \\ Rh = R \cos E \\ Rv = R \sin E \end{array} \right\} \text{現在位置}$$

より入力 2 個選択し、XY プロターの入力とする。

$$\left. \begin{array}{l} Rhx_s = Rhx_0 + \frac{R_0}{E_0} \cos Eg \sin Bg \times E_0 \\ Rhy_s = Rhy_0 + \frac{R_0}{E_0} \cos Eg \cos Bg \times E_0 \\ Rh_s = Rh_0 + \frac{R_0}{E_0} \cos Eg \times E_0 \\ Rv_s = E_0 \left\{ \frac{R_0}{E_0} \sin Eg - \frac{\sin (M-)}{E_0} \right\} \end{array} \right\} \text{未来位置}$$

より入力 2 個選択し、XY プロターの入力とする。